

1. Вводная

По российской классификации радиоволны с крайне высокими частотами (КВЧ) от 30 до 300 ГГц (длины волн $(10-1) \cdot 10^{-3}$ м) относят к диапазону миллиметровых волн (ММВ).

В зарубежной классификации интервал частот 30...300 ГГц и 1...18 ГГц разделяется на диапазоны:

Таблица 1.1

Диапазон	Интервал частот, ГГц	Длины волн, 10^{-3} м	Полоса частот, ГГц
Ка	27 – 40	11,1 – 7,5	13
V	40 – 75	7,5 – 4,0	35
W	75 – 100	4,0 – 3,0	25
ММ	110 – 300	2,75 – 1	190
L	1 – 2	300 – 150	1
S	2 – 4	150 – 75	2
C	4 – 8	75 – 37,5	4
X	8 – 12	37,5 – 25	4
K _U	12 – 18	25 – 16,7	6

Интерес к ММВ возник сразу же как только стали известны опыты Герца. В России первые опыты генерации излучения в терагерцовом диапазоне на волне $0,6 \cdot 10^{-3}$ м были осуществлены в Московском университете П.Н. Лебедевым в 1895 г., Глагольевой-Аркадьевой в 1924 г. в диапазоне от 0,129 мм до 5 см.

Генерация субмиллиметровых (СБМВ) длин волн $(0,1-1) \cdot 10^{-3}$ м терагерцового диапазона (300–3000) ГГц до сих пор является проблемой.

Однако трудности в создании элементов устройств на ММ-волнах с одной стороны и значительные успехи в освоении волн дециметрового, метрового и дециметрового диапазонов с другой стороны уменьшили в то время внимание и заинтересованность в использовании ММ-волн в зародившихся в двадцатые годы наиболее важных и перспективных отраслях: радиосвязи, радиолокации, радиоуправлении, навигации и т.д. Для названных применений до сих пор остаются актуальными проблемы, особенно взаимодействия ММ-волн при распространении с газами атмосферы, отражения и рассеяния подстилающими земными покровами, объектами, эффекты дифракции в телекоммуникациях, приём в зоне затеняющих препятствий, а также в просветной радиолокации, в частности для периметрической охраны важных государственных и других объектов (границ).

Как известно, первые радиолокаторы декаметрового диапазона были созданы в Англии, России (1934г.), и несколько позднее в США (1935-1937гг.).

Для компьютерного и имитационного моделирования необходимо математическое описание тропосферного распространения, отражения и рассеяния. Существенный приоритетный вклад в эти теории декаметрового и метрового диапазонов радиоволн внесли труды Российских ученых: Введенский Б.А. (1934 г.), Шукин А.Н. (1940 г.), Исакович М.А. (1952 г.), Фейнберг Е.Л. (1961 г.) и др. Ссылки на их работы содержатся в [1.2]).

В начале 1940-х годов стало ясно, что использование даже сантиметровых волн (СМВ) с приемлемыми апертурами антенн до 1 м. не обеспечивает требуемой точности измерения дальности, угловых координат и скорости движения наземных, морских и низколетящих объектов.

Как известно, для антенн с круговой апертурой радиуса ρ_0 , и времени обработки доплеровского сигнала T разрешающая способность по дальности δr , угловым координатам $\delta \vartheta \approx \lambda/2\rho_0$ и по скорости движущихся целей $\delta V \approx \lambda/2T$ пропорциональна длине волны. Так что поэтому уже на начальном этапе развития радиолокации стремились перейти от метровых волн к СМВ. Для повышения разрешающей способности по дальности $\delta r = \frac{c\tau}{2} = \frac{c}{2\Delta f}$ к импульсным сигналам с длительностью $\tau = 0,02 - 0,1$ мкс и широкополосным сигналам с линейной частотной модуляцией (ЛЧМ-сигналам).

В пятидесятых годах считалось большим достижением различение двух стандартных британских буев, находящихся в 9 м друг от друга. При этом тогда же отмечалось, что несмотря на применение антенн с шириной диаграммы направленности $\delta \vartheta_{0,7} = 30'$ (раскрыв апертурной антенны $2\rho_0 = \frac{\lambda}{\delta \vartheta} \approx 115\lambda$) в азимутальной плоскости сильные отражения местными предметами СМВ затрудняли наблюдение за движущимися наземными объектами, а радиолокационное отображение местности на экране индикатора значительно отличалось от визуально наблюдаемого или фотографического (оптического) изображения.

В наше время с развитием радиосистем спутниковой, наземной и других видов радиосвязи, навигации, локации и радиоуправления почти все участки от L до K_u диапазонов частот оказались загруженными.

Так что растущие потребности в

- увеличении полосы частот до тысячи МГц в радиолокации для формирования радиоизображения лоцируемого объекта, в цифровых широкополосных телекоммуникационных системах;
- повышение точности слежения по углу порядка десятка, а иногда и единиц угловых секунд;
- измерениях по доплеровским радиосигналам малых скоростей движущихся объектов в ближней радиолокации (нарушителей в периметрических охранных зонах, посадка вертолетов, сближение наземного транспорта или летательных аппаратов);

При распространении ММВ вблизи поверхности раздела воздуха и почвы (воды, асфальта, бетона и т.д.) и малых углах скольжения волна практически зеркально отражается гладким покровом и рассеивается хаотическими неровностями, что создает помехи обнаружению наземных целей, а интерференционные замирания совокупности прямого и отраженного (запаздывающего) сигнала искажают форму и ухудшают достоверность приема информации по атмосферному радиоканалу вблизи подстилающего покрова.

Литература

1. *Кугушев А.М., Голубева Н.С., Митрохин В.Н.* Основы радиоэлектроники. Электродинамика и распространение радиоволн. М.: Изд. МГТУ им. Н.Э. Баумана, 2001.

Дополнительная литература

1. Радиоэлектронные системы. Основы построения и теория. Справочник. Под. ред. проф. Ширмана Я.Д. М.: ЗАО «Маквис», 1998.
2. *Андреев Г.А.* Цикл лекций «Отражение и рассеяние ММ-волн природными и антропогенными объектами». Электронная версия. МГТУ им. Н.Э. Баумана, М. 2004.

2. Уравнения Максвелла в дифференциальной и интегральной формах. Граничные условия. Волновое уравнение

Базовыми соотношениями теории распространения излучения электромагнитных волн, отражения, преломления, поглощения подстилающим покровом как диэлектриком являются уравнения Максвелла для векторов напряженности \vec{E} – электрического и \vec{H} – магнитного полей $\vec{D} = \varepsilon_c \vec{E}$, $\vec{B} = \mu_c \vec{H}$.

В дифференциальной форме уравнения Максвелла записываются с использованием дифференциальных операторов набла ∇ (градиент), дивергенции (div) и ротора (rot), примененного как к скалярной так и векторной функциям точки комплексной амплитуды $\vec{E}(\vec{r}) = \vec{E}(x, y, z) = \vec{E}(E_x, E_y, E_z)$.

В векторном математическом анализе в правой прямоугольной системе координат градиент как оператор представляет вектор с декартовыми составляющими в виде частных производных $\partial/\partial x, \partial/\partial y, \partial/\partial z$, записываемого в виде

$$\nabla = \frac{\partial}{\partial x} \vec{l}_x + \frac{\partial}{\partial y} \vec{l}_y + \frac{\partial}{\partial z} \vec{l}_z,$$

где $\vec{l}_{x,y,z}$ – базис \vec{l} линейно независимых единичных векторов осей Ox , Oy и Oz , $|\vec{l}_{x,y,z}| = 1$. Координаты любого единичного вектора (например $\vec{\alpha}(\alpha_x, \alpha_y, \alpha_z)$) являются его направляющими косинусами в базисе $\vec{l}_x, \vec{l}_y, \vec{l}_z$. Это утверждение следует из рассмотрения скалярного произведения (рис.2.1):

$$(\vec{\alpha} \cdot \vec{l}) = |\vec{\alpha}| |\vec{l}_x| \cos \theta_x + |\vec{\alpha}| |\vec{l}_y| \cos \theta_y + |\vec{\alpha}| |\vec{l}_z| \cos \theta_z = \cos \theta_x + \cos \theta_y + \cos \theta_z.$$

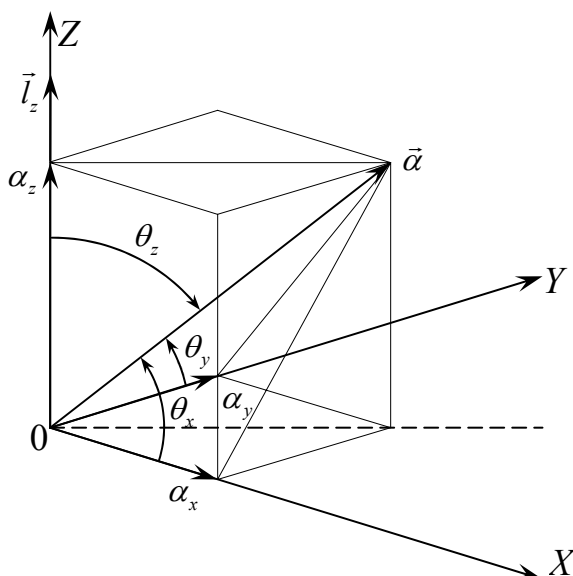


Рис.2.1.

Например, градиент скалярной функции точки электромагнитного поля $E(x, y, z, t)$ по определению

$$\nabla E = \frac{\partial E}{\partial x} \vec{l}_x + \frac{\partial E}{\partial y} \vec{l}_y + \frac{\partial E}{\partial z} \vec{l}_z$$

– представляет вектор с компонентами частной производной в базисе единичных векторов $\vec{l}_x, \vec{l}_y, \vec{l}_z$.

Для составляющей E_z – проекции отраженной волны \vec{E}_r на ось z , совпадающей по направлению с нормалью \vec{n} к плоскости xu $\frac{\partial E_z}{\partial z} = \frac{\partial E_z}{\partial n}$ по определению

$$\text{grad } E_z = \nabla E_z = \frac{\partial E_z}{\partial n} \vec{n}.$$

Дивергенция векторной функции точки $\vec{E}(x, y, z)$ по определению представляет скалярное произведение градиента ∇ и \vec{E} , т.е. является скаляром, как сумма произведений составляющих производных $\partial/\partial x, \partial/\partial y, \partial/\partial z$ и составляющих $E_{x,y,z}$, что записывается в виде:

$$\text{div } \vec{D} = \varepsilon_c \text{div } \vec{E} = \varepsilon_c (\nabla \cdot \vec{E}) = \left(\frac{\partial E_x}{\partial x} + \frac{\partial E_y}{\partial y} + \frac{\partial E_z}{\partial z} \right) \varepsilon_c.$$

Векторное произведение градиента ∇ и векторной функции точки \vec{E} является вектором, обозначаемым $\text{rot } \vec{E}$ и представляемым квадратной матрицей (\cdot) 3×3 , которая выражается через миноры D_x, D_y, D_z в виде:

$$[\nabla \cdot \vec{E}] = \text{rot } \vec{E} = \begin{pmatrix} \vec{l}_x & \vec{l}_y & \vec{l}_z \\ \frac{\partial}{\partial x} & \frac{\partial}{\partial y} & \frac{\partial}{\partial z} \\ E_x & E_y & E_z \end{pmatrix} = D_x \vec{l}_x + D_y \vec{l}_y + D_z \vec{l}_z,$$

где $D_x = \frac{\partial E_z}{\partial y} - \frac{\partial E_y}{\partial z}$, аналогично $D_{y,z}$.

Оператор Лапласа (лапласиан) определяется в виде повторной операции градиента как скалярное произведение и записывается в прямоугольной системе координат в виде

$$\Delta = (\nabla \cdot \nabla) = \frac{\partial^2}{\partial x^2} + \frac{\partial^2}{\partial y^2} + \frac{\partial^2}{\partial z^2}.$$

Лапласиан применяется как к скалярной $E(x, y, z)$, так и векторной $\vec{E}(x, y, z) = E_x \vec{l}_x + E_y \vec{l}_y + E_z \vec{l}_z$ функциям точки, что записывается соот-

ветственно в виде:

$$\Delta E = \left(\frac{\partial^2}{\partial x^2} + \frac{\partial^2}{\partial y^2} + \frac{\partial^2}{\partial z^2} \right) E(x, y, z) \text{ и}$$

$$\Delta \vec{E} = \Delta E_x \vec{i}_x + \Delta E_y \vec{i}_y + \Delta E_z \vec{i}_z.$$

В дальнейшем будет использоваться операция второго порядка для вектора \vec{E} из векторной алгебры

$$\text{grad div } \vec{E} = \nabla \cdot (\nabla \cdot \vec{E}) = \Delta \vec{E} + [\nabla \cdot [\nabla \cdot \vec{E}]]$$

и следующая из неё

$$\text{rot rot } \vec{E} = [\nabla \cdot [\nabla \cdot \vec{E}]] = \nabla(\nabla \cdot \vec{E}) - \Delta \vec{E}. \quad (*)$$

В дифференциальной форме уравнения Максвелла представляются в виде:

$$\text{rot } \vec{H} = \frac{\partial \vec{D}}{\partial t} + \vec{j}_\sigma; \quad (2.1')$$

$$\text{rot } \vec{E} = -\frac{\partial \vec{B}}{\partial t}; \quad (2.2')$$

$$\text{div } \vec{D} = q; \quad (2.3')$$

$$\text{div } \vec{B} = 0, \quad (2.4')$$

где q – плотность свободных электрических зарядов.

Система уравнений (2.1')...(2.4') дополняется материальными уравнениями электрической $\vec{D} = \varepsilon_c \vec{E}$ и магнитной $\vec{B} = \mu_c \vec{H}$ индукциями, где ε_c, μ_c – абсолютные диэлектрическая и магнитная проницаемости среды и дифференциальным законом Ома $\vec{j}_\sigma = \sigma \vec{E}$, где σ – удельная проводимость.

Уравнения Максвелла в дифференциальной форме (2.1')–(2.4') применимы для линейных сред с постоянными параметрами ε_c, μ_c и σ , либо непрерывно зависящими от координат.

В ситуации, например, когда диэлектрическая проницаемость ε' на границе раздела двух сред изменится скачком для описания векторов \vec{E} и \vec{H} используют уравнения Максвелла в интегральной форме.

Переход от уравнений Максвелла в дифференциальной форме к интегральным основан на интегральных теоремах, устанавливающих зависимость между дифференциальными операторами, и соответствующими объёмными и поверхностными интегралами.

Так например, уравнение в дифференциальной форме (2.2') записывается в следующей интегральной форме в плоскости Π на рис.2.1

$$\oint_{\Gamma} (\vec{E} \cdot d\vec{l}) = - \int_{\Delta\Sigma} \left(\frac{\partial \vec{B}}{\partial t} \cdot d\vec{\Sigma} \right), \quad (2.2'')$$

где $\Delta\Sigma$ – площадь, охватываемая контуром $\Gamma=abcd$ (см. рис.2.2), а $\vec{n}_{\perp} = [\vec{n}\vec{\tau}]$ – векторное произведение единичных векторов нормали \vec{n} к поверхности $d\vec{\Sigma} = \vec{n}_{\perp} d\Sigma$ в плоскости Π и отрезка прямой $d\vec{l} = \vec{\tau} dl$.

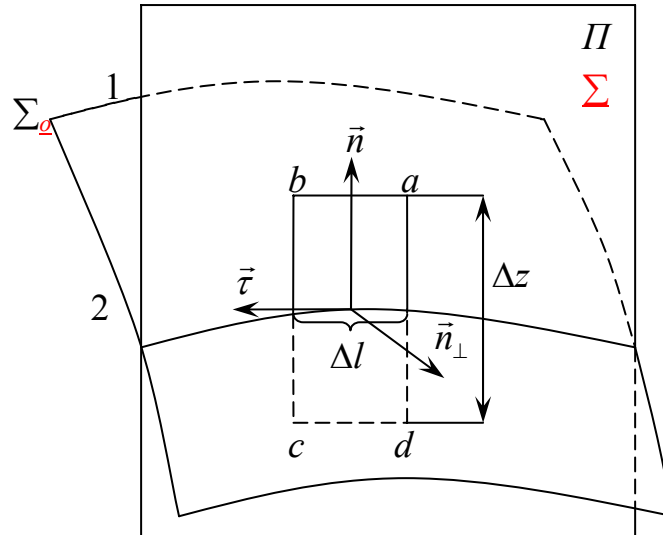


Рис.2.2.

Обход контура $abcd$ составляет правовинтовую систему единичных векторов $\vec{n}, \vec{\tau}, \vec{n}_{\perp}$.

При $\Delta z \rightarrow 0$ стороны ab и cd остаются в разных средах и в пределе совпадают с Δl . При этом $d\vec{l} = \vec{\tau} dl$ для ab и $d\vec{l} = -\vec{\tau} dl$ для cd .

При условии малости Δl получаются выражения

$$\left. \begin{aligned} \lim_{\Delta z \rightarrow 0} \int_{ab} (\vec{E} \cdot d\vec{l}) &= (\vec{E}_1 \vec{l}) \Delta l = E_{1\tau} \Delta l \\ \lim_{\Delta z \rightarrow 0} \int_{cd} (\vec{E} \cdot d\vec{l}) &= -(\vec{E}_2 \vec{l}) \Delta l = -E_{2\tau} \Delta l \end{aligned} \right\}. \quad (2.2''')$$

При $\Delta z \rightarrow 0$ интегралы по bc и da равны нулю, правая часть в (2.2'') обращается в «0» (т.к. $\Delta\Sigma=0$). В итоге, с учётом (2.2''') соотношение (2.2'') преобразуется к виду $E_{1\tau} \Delta l = E_{2\tau} \Delta l$, из которого следует, что

$$E_{1\tau} = E_{2\tau}. \quad (2.2\tau)$$

Аналогичное соотношение получается и для касательных составляющих напряжённости магнитного поля

$$H_{1\tau} = H_{2\tau}. \quad (2.2'\tau)$$

Соотношения (2.2 τ) и (2.2' τ) называются граничными условиями непрерывности (равенства) тангенциальных составляющих на плоской

границе раздела двух сред.

Аналогично, дифференциальное уравнение (2.3') записывается в интегральной форме

$$\oiint_{\Sigma_y} (\vec{D} \cdot d\vec{s}) = \int_V \rho dV, \quad (2.3'')$$

где вместо контура $abcd$ выбран цилиндр с общей площадью поверхности Σ_y с площадью основания на границе раздела $\Delta\Sigma_o$ с нормалью \vec{n} параллельно образующей цилиндра Δz .

Для значений составляющих векторов на границе раздела $D_{1n} = (\vec{D}_1 \vec{n}) = D_{2n} = (\vec{D}_2 \vec{n})$ после предельных переходов, аналогичных выполненным при получении соотношения (2.2τ) для нормальных составляющих получается выражение в виде

$$(D_{1n} - D_{2n})\Delta\Sigma_o = \lim_{\Delta z \rightarrow 0} \int_V \rho dV.$$

Очевидно, что при любой конечной объёмной плотности заряда правая часть уравнения обращается в нуль и граничное условие записывается в виде

$$\varepsilon'_{c1} E_{1n} = \varepsilon'_{c2} E_{2n}. \quad (2.3n)$$

Если на границе раздела двух сред имеется поверхностная плотность заряда ρ_Σ , то нормальная составляющая индукции $D_{1n} - D_{2n} = \rho_\Sigma$ терпит разрыв, также как и касательная.

Действительно, после подстановки в тождество (2.2τ) $E_{1\tau} = D_{1\tau} / \varepsilon'_1 = E_{2\tau} = D_{2\tau} / \varepsilon'_2$ для касательных составляющих $D_{1\tau}, D_{2\tau}$ получается выражение

$$\frac{D_{1\tau}}{D_{2\tau}} = \frac{\varepsilon_{1c}}{\varepsilon_{2c}}.$$

Аналогично выводу (2.3n) получается соотношение для нормальных составляющих вектора магнитной индукции

$$B_{1n} = B_{2n}, \quad (2.3')$$

и, соответственно

$$\frac{H_{1n}}{H_{2n}} = \frac{\mu_2}{\mu_1}. \quad (2.3'n)$$

При гармоническом $e^{-i\omega t}$ изменении во времени электромагнитного поля $\vec{E}(x, y, z, t) = \vec{E}(x, y, z)e^{-i\omega t}$ с разделяющимися переменными координатой $\vec{r} = \vec{r}(x, y, z)$ и временем t система уравнений Максвелла (2.1')–(2.4') в системе СИ записывается [2.2] в виде:

$$\text{rot } \vec{H} = -i\omega \varepsilon_c \vec{E} + j_\sigma = -i\omega \varepsilon'_c \vec{E}; \quad (2.1)$$

$$\operatorname{rot} \vec{E} = i\omega\mu_c \vec{H}; \quad (2.2)$$

$$\operatorname{div} \vec{D} = q; \quad (2.3)$$

$$\operatorname{div} \vec{B} = 0. \quad (2.4)$$

\vec{E} можно выразить через вектор поляризации \vec{p} и комплексной амплитудой $E(x, y, z) \exp[i(k\vec{r})]$, где $\vec{E}(x, y, z) = \vec{p}E(x, y, z)$.

В неферромагнитной среде с удельной проводимостью $\sigma \neq 0$ зависимость плотности тока проводимости \vec{j}_σ от поля \vec{E} описывается законом Ома в дифференциальной форме:

$$\vec{j}_\sigma = \sigma \vec{E}. \quad (2.5)$$

Для получения зависимости суммарного тока \vec{j} от напряженности электрического поля \vec{E} выделим общий множитель перед \vec{E} в правой части уравнения (2.1) с учетом (2.5) и разделим на абсолютную электрическую постоянную $\varepsilon_0 = 10^7/4\pi c^2$. В итоге получается выражение:

$$-\frac{i\omega}{\varepsilon_0} \left(\varepsilon_c + \frac{i\sigma}{\omega} \right) = -i\omega \left(\varepsilon + i \frac{\sigma}{\omega \varepsilon_0} \right) = -i\omega(\varepsilon + i60\lambda\sigma) = -i\omega\varepsilon' \vec{E}, \quad (2.6)$$

где

$$\varepsilon' = \varepsilon + i\varepsilon'' \quad (2.7)$$

– комплексная диэлектрическая проницаемость среды относительно вакуума. Штрих указывает на комплексность. Действительная часть ε , соответствующая производной по времени от электрической индукции, характеризует ток смещения, а мнимая

$$\varepsilon'' = \frac{\sigma}{\omega \varepsilon_0} = \frac{\sigma 4\pi c^2}{kc10^7} = \frac{2c}{10^7} \lambda\sigma = 60\lambda\sigma \quad (2.8)$$

– ток проводимости. В системе СИ размерности σ и $\omega \varepsilon_0$ совпадают.

Сумма \vec{j} токов проводимости (2.5) и смещения записывается в компактном виде:

$$\vec{j} = -i\omega\varepsilon' \vec{E}, \quad (2.9)$$

При выводе трёхмерного уравнения Гельмгольца применим операцию (*) $\operatorname{rot} \vec{E}$ к уравнению (2.2) и в результате получим

$$\operatorname{rot} \operatorname{rot} \vec{E} = -i\omega\mu_c \operatorname{rot} \vec{H}.$$

По уравнению (2.1) заменим $\operatorname{rot} \vec{H} = -i\omega\varepsilon'_c \vec{E}$, а по (*) $\operatorname{rot} \operatorname{rot} \vec{E}$, в итоге получим

$$-i\omega^2 \varepsilon'_c \mu_c \vec{E} = \varepsilon_c \text{grad div } \vec{E} - \Delta \vec{E}.$$

В отсутствие свободных зарядов ($q=0$) из уравнения (2.3) следует, что $\varepsilon_c (\nabla \cdot \vec{E}) = \text{div } \vec{D} = \text{div } \varepsilon_c \vec{E} = 0$ и, следовательно, в правой части соотношения (*) остаётся слагаемое $-\Delta \vec{E}$.

Систему уравнений Максвелла, где опущен временной множитель $e^{-i\omega t}$ вектора напряжённости электрического поля \vec{E} можно выразить через вектор поляризации \vec{p} и комплексную амплитуду $E(x, y, z) \exp[i(\vec{k} \cdot \vec{r})]$ в виде $\vec{E}(x, y, z) = \vec{p} E(x, y, z) \exp[i(\vec{k} \cdot \vec{r})]$.

В итоге получим трёхмерное однородное ($q=0$) уравнение Гельмгольца для комплексной амплитуды $E(x, y, z)$ в виде

$$\Delta E + \omega^2 \varepsilon'_c \mu_c E = \Delta E + k'^2 E = 0, \quad (2.10)$$

где $k' = \omega \sqrt{\varepsilon'_c \mu_c}$ – комплексное волновое число.

Развёрнутое уравнение (2.10) записывается в виде

$$\frac{\partial^2 E(x, y, z)}{\partial x^2} + \frac{\partial^2 E(x, y, z)}{\partial y^2} + \frac{\partial^2 E(x, y, z)}{\partial z^2} + k^2 \varepsilon_0 \mu_0 \varepsilon' = 0. \quad (2.11)$$

Для заданного краевого условия $E(\vec{r} = 0) = E_0$ уравнение (2.11) имеет частное решение

$$E(x, y, z) = E_0 \exp[i(\vec{k} \cdot \vec{r})] = E_0 \exp[i(k_x x + k_y y + k_z z) \sqrt{\varepsilon_0 \mu_0 \varepsilon'}]. \quad (2.12)$$

После подстановки (2.12) в (2.11) получается соотношение $(k_x^2 + k_y^2 + k_z^2) \varepsilon_0 \mu_0 \varepsilon' = k^2 \varepsilon_0 \mu_0 \varepsilon'$, где $k = 2\pi/\lambda = \omega/c$ – волновое число в вакууме. С учётом абсолютных магнитной μ_c и комплексной диэлектрической проницаемостей среды комплексное волновое число представляется в виде

$$k' = \pm \omega \sqrt{\varepsilon'_c \mu_c} = \pm \omega \sqrt{\varepsilon_0 \mu_0 \varepsilon' \mu}. \quad (2.13)$$

В соответствии с принципом двойственности после замены $\{\vec{E} \rightarrow -\vec{H}, \varepsilon_c \rightarrow \mu_c, \mu_c \rightarrow \varepsilon_c, \vec{j}_\sigma \rightarrow \vec{j}_m\}$ решение дифференциальных уравнений Максвелла (2.1)-(2.2) для комплексной амплитуды электрического поля и заданного стороннего тока могут быть использованы с перестановкой $\{\cdot\}$ для стороннего магнитного тока, как например, для исследования излучения волноводно-щелевых антенн.

Трёхмерное волновое уравнение записывается в виде:

$$\Delta E(\vec{r}, t) - \frac{1}{c^2} \frac{\partial^2 E}{\partial t^2} = 0. \quad (2.14)$$

Волновое уравнение для заданного краевого условия $E(\vec{r} = 0) = E_0$ допускает частное решение в виде:

$$E(x, y, z, t) = E_0 \exp(i[(\vec{k}\vec{r}) - \omega t]). \quad (2.15)$$

В решении (2.15) были выбраны знаки «+» у $(\vec{k}\vec{r})$ и «-» у ωt .

Выражение (2.15) описывает распространение плоской электромагнитной волны с равноамплитудным и синфазным распределением поля в начале координат $\vec{r} = 0, t = 0$.

3. Абсолютные, относительные диэлектрические и магнитные проницаемости сред

Абсолютная диэлектрическая проницаемость среды описывается соотношением

$$\varepsilon_c = \varepsilon_0(1 + \chi_e),$$

где $\varepsilon_0 = \frac{10^7}{4\pi c^2} = \frac{1}{36\pi} 10^{-9} = 8,85 \cdot 10^{-12} \left[\frac{\Phi}{\text{М}} \right]$ – электрическая постоянная в системе СИ $[\text{ЛМТ}^2\text{Г}^2]$, χ_e – диэлектрическая восприимчивость (поляризуемость) единицы объема среды.

В вакууме $\chi_e = 0$ и ε_0 приобретает смысл диэлектрической проницаемости вакуума, т.е. абсолютной электрической постоянной.

Аналогично определяется абсолютная магнитная постоянная $\mu_0 = 4\pi \cdot 10^{-7} \left[\frac{\text{ГН}}{\text{М}} \right]$ в системе СИ с размерностью $[\text{Л}^{-3}\text{М}^{-1}\text{Т}^4\text{Г}^2]$.

Обычно пользуются относительными диэлектрической и магнитной проницаемостями $\varepsilon = \varepsilon_c / \varepsilon_0$ и $\mu = \mu_c / \mu_0$.

С учётом того, что

$$\varepsilon_0 \mu_0 = \frac{10^7}{4\pi c^2} \cdot 4\pi 10^{-7} = \frac{[\text{Л}^{-3}\text{М}^{-1}\text{Т}^4\text{Г}^2] \cdot [\text{ЛМТ}^{-2}\text{Г}^{-2}]}{c^2} = \frac{1}{c^2 [\text{Л}^2/\text{Т}^2]}$$

произведение $\varepsilon_0 \mu_0 \varepsilon \mu = \varepsilon \mu / c^2$.

Поскольку у диэлектрических сред $\mu = 1$, то с учётом множителя $\varepsilon_0 \mu_0 = \frac{1}{c^2}$, выражение (2.13) для k' преобразуется к виду:

$$k' = \pm \frac{\omega}{c} \sqrt{\varepsilon'} = \pm k \sqrt{\varepsilon'}.$$

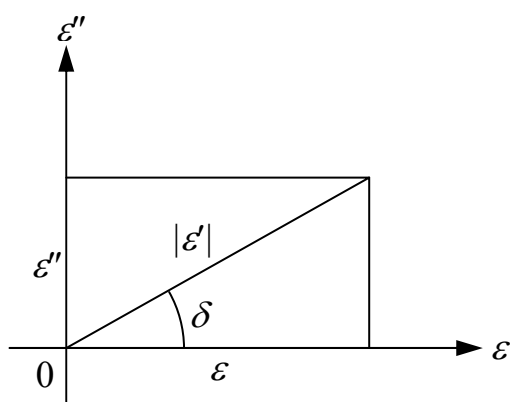


Рис.3.1. Комплексная диэлектрическая проницаемость на плоскости $\varepsilon, \varepsilon''$

Для неферромагнитных сред $\mu=1$, что и было использовано при получении выражений (2.6) и (2.11).

На комплексной плоскости $(\varepsilon, \varepsilon'')$ (рис.3.1) – комплексная диэлектрическая проницаемость (2.7) изображена в виде отрезка прямой $|\varepsilon'|$ (модуля) с составляющими по осям ординат ε'' , абсцисс ε и аргументом – углом потерь δ .

С введением угла потерь δ соотношение (2.7) приводится к

виду:

$$\varepsilon' = \varepsilon(1 + i \operatorname{tg} \delta) = |\varepsilon'| e^{i\delta}, \quad (3.1)$$

где $\operatorname{tg} \delta = \frac{\varepsilon''}{\varepsilon} = \frac{60\lambda\sigma}{\varepsilon}$ характеризует отношение тока проводимости к току смещения. Из соотношения (3.1) следует, что

$$\sqrt{\varepsilon'} = \sqrt{|\varepsilon'|} e^{i\delta/2}, \quad (3.2)$$

где $|\varepsilon'| = \sqrt{\varepsilon^2 + \varepsilon''^2}$.

Диэлектрические среды (газы, жидкости) упрощенно можно представить, состоящих из полярных (H_2O) и неполярных (N_2 , H_2) молекул. У полярных молекул H_2O в отсутствие внешнего поля \vec{E} центры тяжести положительных и отрицательных зарядов совпадают. При воздействии внешнего поля молекулы деформируются, возникает дипольный момент $\vec{P}_e = \varepsilon_0 \chi_e \vec{E}$ и происходит ориентационная поляризация, например у дистиллированной воды H_2O .

У неполярных молекул N_2 , H_2 в отсутствие внешнего поля существует постоянный электрический дипольный момент $P_e = \text{const}$, обусловленный асимметрией центра тяжести электронных облаков и ядер. Центры тяжести не совпадают и во внешнем поле происходит электронная поляризация.

В кристаллических телах (NaCl) во внешнем поле происходит ионная поляризация.

Как убедимся в дальнейшем, составляющие диэлектрической проницаемости определяют коэффициенты отражения Френеля, преломления и поглощения земными покровами.

3.1. Формула Улаби-Добсона

По международным стандартам [4] почву рассматривают как четырехфазную смесь воздуха, частиц грунта, связанной и свободной воды. Строгая теория диэлектрической проницаемости почв как многофазной смеси громоздка и неудобна для практического использования, надо учитывать форму частиц, эффекты деполяризации и т.д.

В [4] предложена формула, в дальнейшем называемой Улаби-Добсона (Ulaby-Dobson) концептуально соответствующая теории четырехфазной смеси.

Для удобства учета связанной воды в почве выражен слагаемым через объемную влажность ρ_m , умноженную на комплексную диэлектрическую проницаемость воды ε'_W в степени q .

В итоге в диапазоне частот от единиц МГц до десятков ГГц для КДП почвогрунта получилось полуэмпирическое аппроксимационное соотношение [4] в виде:

$$\varepsilon'^q = \varepsilon_r^q (1 - p) + p + \rho_m \varepsilon'_W{}^q - \rho_m, \quad (3.3)$$

где ε_r – диэлектрическая проницаемость, обычно принимаемая $\varepsilon_r = 4,73$ в соответствии с экспериментальными данными [4],

$p = 1 - \frac{\rho}{\rho_r}$ – порозность грунта (объемное содержание воздуха в грунте), а ρ_r – плотность твердой породы основы грунта, ρ – плотность сухого грунта, обычно $\rho = 1,1 \dots 1,7$ г/см³, а $\rho_r = 2,65 \dots 2,75$ г/см³ [4].

Из соотношения (3.3) для оценки действительной составляющей диэлектрической проницаемости ε сухого грунта ($\rho_m = 0$) следует выражение:

$$\varepsilon = \left[\varepsilon_r^q (1 - p) + p \right]^{1/q}. \quad (3.4)$$

3.2. Дебаевская релаксационная модель воды

Взаимодействие внешнего электромагнитного поля с полярными молекулами диэлектрических жидких проводящих сред математически описывается феноменологической дебаевской теорией релаксационных процессов.

По концепции Дебая [3.4] после выключения внешнего поля с начальным условием $t = 0$, $P_e(0) = P_{e0}$ ориентационная поляризация исчезает во времени по экспоненциальному закону

$$P_e(t) = P_{e0} \exp\left(-\frac{t}{\tau}\right) \quad (3.5)$$

со временем релаксации τ .

Выражение для частотной зависимости $\varepsilon'(\omega)$ воды постулируется в виде:

$$\varepsilon'(\omega) = \varepsilon_\infty + \widehat{P}_e(\omega), \quad (3.6)$$

где нормированное Фурье преобразование функции (3.5) имеет вид

$$\widehat{P}_e(\omega) = \frac{1}{P_{e0}\tau} \int_0^\infty P_e(t) \exp(i\omega t) dt = \frac{1}{1 - i\omega\tau}. \quad (3.7)$$

После введения в (3.6) параметров ε_∞ и ε_0 (получающихся при $\omega = \infty$, $\widehat{P}_e(\infty) = 0$ и $\omega = 0$, $\widehat{P}_e(0) = 1$) выражение (3.6) преобразуется к виду:

$$\varepsilon'_W = \varepsilon_\infty + \frac{\varepsilon_0 - \varepsilon_\infty}{1 - i\omega\tau} = \varepsilon_\infty + \frac{\varepsilon_0 - \varepsilon_\infty}{1 + \omega^2\tau^2} + \frac{i\omega\tau(\varepsilon_0 - \varepsilon_\infty)}{1 + \omega^2\tau^2} = \varepsilon + i\varepsilon'', \quad (3.8)$$

где

$$\left. \begin{aligned} \varepsilon &= \varepsilon_{\infty} + \frac{\varepsilon_{=} - \varepsilon_{\infty}}{1 + \omega^2 \tau^2}, \\ \varepsilon'' &= \frac{\omega \tau (\varepsilon_{=} - \varepsilon_{\infty})}{1 + \omega^2 \tau^2}. \end{aligned} \right\} \quad (3.9)$$

Как следует из соотношения (3.8) при $\omega = 0$ $\varepsilon'_W = \varepsilon_{=}$, а при $\omega = \infty$ $\varepsilon'_W = \varepsilon_{\infty}$. В непроводящей жидкой среде из-за релаксации $\tau \neq 0$ возникают значительные диэлектрические потери, которые и учитываются мнимой составляющей ε'' (3.9).

Для минерализованной воды (морская, океаническая, почвенная и т.д.) из-за ионной проводимости σ в соотношение (3.8) добавляется слагаемое $i60\lambda\sigma$, увеличивающую мнимую составляющую и выражение для мнимой составляющей (3.9) преобразуется к виду:

$$\varepsilon'' = \frac{\omega \tau (\varepsilon_{=} - \varepsilon_{\infty})}{1 + \omega^2 \tau^2} + 60\lambda\sigma_{\zeta}. \quad (3.10)$$

В соотношениях (3.8)–(3.10) $\varepsilon_{=}$ и ε_{∞} диэлектрические проницаемости пресной воды соответственно в постоянном ($\omega = 0$) и гиперчастотном (оптическом) ($\omega = \infty$) полях, τ – время релаксации молекул после отключения электромагнитного поля с частотой ω , σ – ионная удельная проводимость.

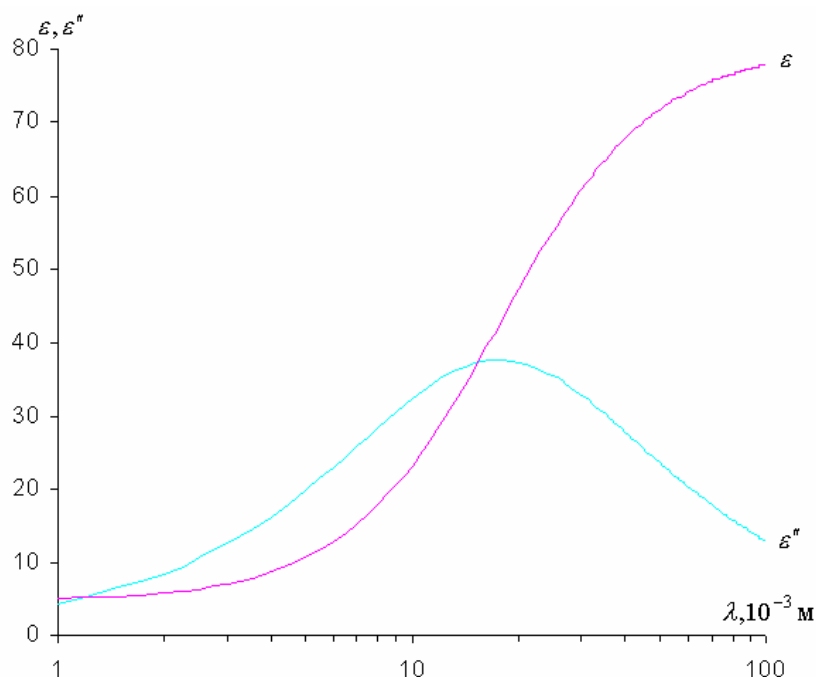


Рис.3.2. Зависимость диэлектрической проницаемости воды от длины волны, рассчитанная по (3.9)–(3.10) для дистиллированной воды

На рис.3.2 приведены кривые зависимости от длины волны λ в мм действительной ε и мнимой ε'' составляющей диэлектрической проницаемости пресной дистиллированной воды при температуре 20°

C , вычисленные по соотношению (3.9) теории Дебая при $\tau = 9,35 \cdot 10^{-12}$ с, $\varepsilon_{\infty} = 4,9$, $\varepsilon_{-} = 80,1$.

Из данных на рис.3.2 следует, что существует экстремум (релаксационный максимум) мнимой составляющей на $\lambda_{+} = 17,6 \cdot 10^{-3}$ м ($f_{+} = \frac{c}{\lambda_{+}} = \frac{2,997 \cdot 10^{11}}{17,6} = 17$ ГГц), для $\lambda = 8 \cdot 10^{-3}$ м., $\varepsilon = 17,8$, а $\varepsilon'' = 28,3$.

В интервалах длин волн вне экстремальной λ_{+} мнимые составляющие уменьшаются для пресной воды. Для морской воды из-за солености ($\sigma_s \neq 0$) мнимая составляющая ε'' с увеличением длины волны λ (понижением частоты $\omega/2\pi$) возрастает. Действительная составляющая ε является монотонно убывающей функцией с укорочением длины волны (повышением частоты $\omega/2\pi$).

3.3. Влажные почвогрунты

В [4] приведены экспериментальные данные о действительной и мнимой составляющих диэлектрической проницаемости пяти типов почв (смеси из песка (П), глины (Г) или органических удобрений (Ил)) в диапазоне частот (4 – 38) ГГц в зависимости от объемной ρ_m [г/см³] и весовой [%] влажности.

По корреляционному полю измеренных составляющих $\varepsilon_{\text{Э}}, \varepsilon_{\text{Э}}''$ пяти эталонных типов почв и теоретических значений $\varepsilon_T, \varepsilon_T''$ прямые регрессии ε_T на $\varepsilon_{\text{Э}}$ соответствуют коэффициентам взаимной корреляции $R_{\text{Э}T} = 0,98$ при значении в (3.3) аппроксимационного показателя степени $q = 0,65$, и незначительно зависящего от относительного весового содержания в грунте песка, глины, составляющих в совокупности с органическими удобрениями 100% [4].

В [Д1] на лучеводной измерительной линии были измерены на частоте 140 ГГц ($\lambda = 2,14 \cdot 10^{-3}$ м) комплексные диэлектрические проницаемости грунта, песка, стекла, асфальта, бетона, обожженного (красного) и силикатного кирпичей, сосновой доски, снега с контролем плотности ρ и температур исследуемых образцов. Например, у сухого песка с $\rho = 1,4$ г/см³ экспериментальные значения $\varepsilon_{\text{Э}}, \varepsilon_{\text{Э}}''$ оказались равными: $\varepsilon'_{\text{Э}} = 2,5 + i6,2 \cdot 10^{-2}$.

Для измеренного $\rho = 1,4$ г/см³ и эталонного значения $\rho_r = 2,65$ г/см³, порозности $p = 1 - \frac{\rho}{\rho_r} = 0,48$, $\varepsilon_r = 4,73$ при $q = 0,65$ по соотношению (3.7) получилась теоретическая оценка $\varepsilon_T = \varepsilon = 2,52$, что в пределах 1% совпадает с измеренным [6].

В неидеальных твердых диэлектриках ($\varepsilon'' \neq 0$) из-за релаксации

возникают диэлектрические потери и мнимая составляющая на несколько порядков меньше составляющей, обусловленной токами проводимости [3,4].

На рис.3.3 приведены рассчитанные по (3.9) составляющие КДП почвы как функции объемной влажности ρ_m на длинах волн $\lambda = 8$ мм и 15 см при порозности $p = 0,5$, температуре $t = 20^\circ\text{C}$, 51% песка, 13,5% глины и 35,5% ила.

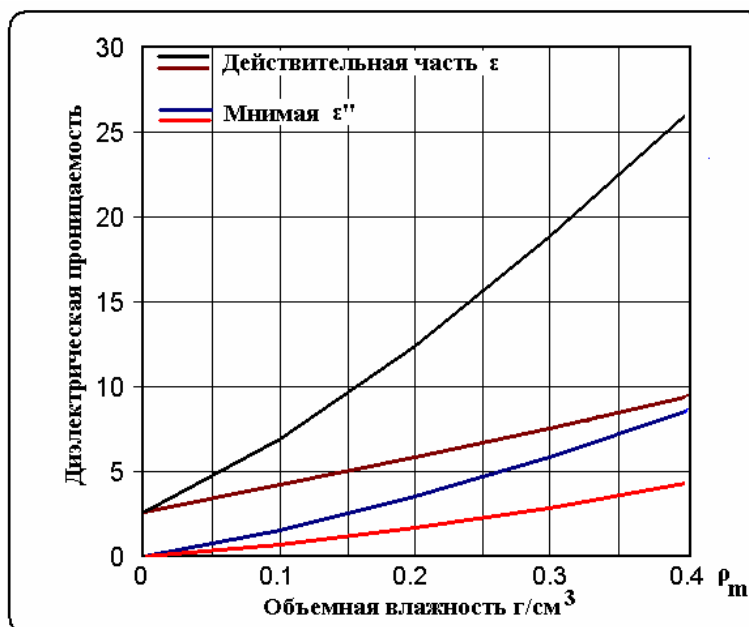


Рис.3.3. Зависимости КДП грунта (песок 51%, глина 13,5%, ил 35,5%): кривые черного и красного цвета – на частоте $\omega/2\pi = 2$ GHz, кривые бордового и голубого цвета – на частоте $\omega/2\pi = 37,5$ GHz

Из анализа частотных зависимостей ϵ , ϵ'' на рис.3.2 следует, что действительная составляющая диэлектрической проницаемости почвы ϵ на частоте 2 ГГц ($\lambda = 15$ см) от объемной влажности должна превышать аналогичную зависимость на частоте 37,5 ГГц ($\lambda = 0,8$ см), а мнимая составляющая ϵ'' – наоборот.

С увеличением объемной влажности возрастают действительная и мнимая составляющие комплексной диэлектрической проницаемости влажной почвы, что и подтверждается расчётными кривыми на рис.3.3.

4. Отражение, преломление и поглощение гладким подстилающим покровом линейно поляризованной плоской волны

В общем виде вектор напряженности электрического поля $\vec{E}(\vec{r}, t)$ плоской гармонической волны как функция времени t и координат пространства $\vec{r}(x, y, z)$ в воздухе ($\varepsilon' = 1$) [1] записывается в виде:

$$\begin{aligned} \vec{E}(\vec{r}, t) &= E(x, y, z) \vec{p} \exp\left(i\left[\vec{k}\vec{r}\right] - \omega t\right) = \\ &= E(x, y, z) \vec{p} \exp[i(\vec{k}\vec{r})] \exp(-i\omega t), \end{aligned} \quad (4.1)$$

где \vec{p} – единичный вектор поляризации.

Временной множитель обычно опускают и анализируют комплексную амплитуду волны $E(x, y, z) \exp[i(\vec{k}\vec{r})] = E(x, y, z) \exp[i\varphi_E(r)]$. Как комплексную функцию её выражают через модуль (амплитуду $E(x, y, z)$) и аргумент $\varphi_E(r)$ (фазу) волны, являющиеся действительными функциями расстояния r от источника до точки наблюдения; t – время отсчета от начала наблюдения ($t = 0$).

Отражение, преломление и поглощение обычно рассматривают по схеме, изображённой на рис.4.1.

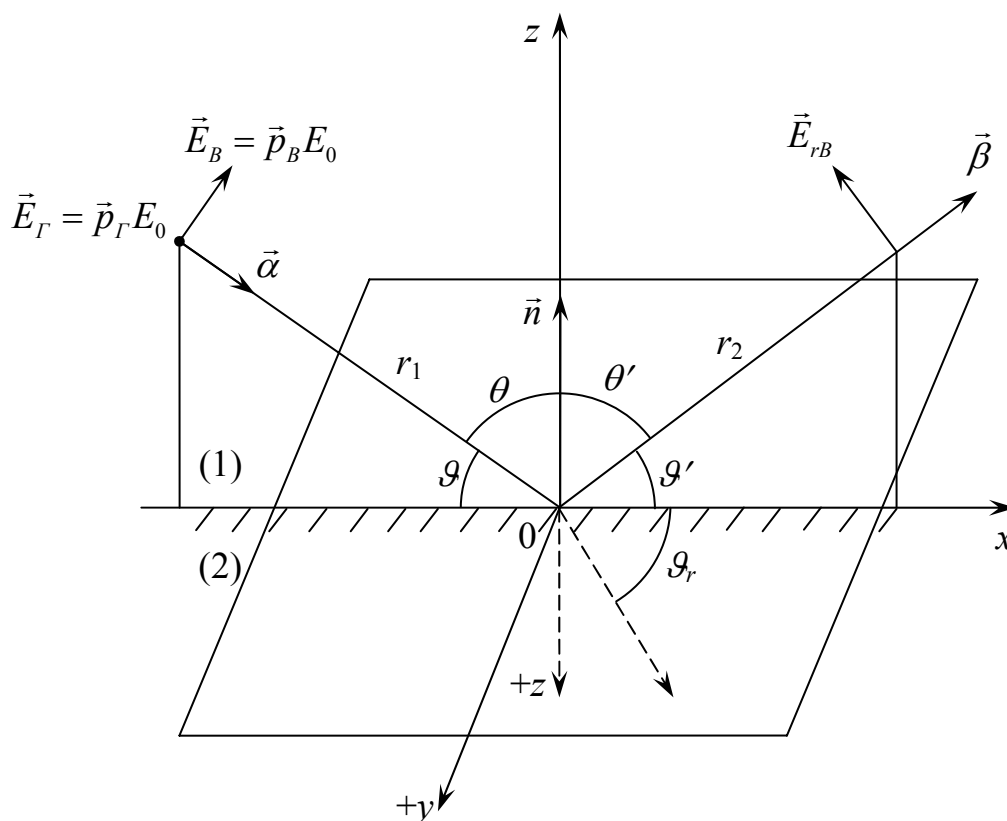


Рис.4.1. Геометрическая схема отражения и преломления плоской волны границы (1) и (2) сред

Поверхность раздела двух сред (1) и (2) на рис.4.1 совпадает с

координатной плоскостью xOy .

В дальнейшем будут использованы полуплоскости xOz , как плоскость падения, отражения и полуплоскости $(x,0,+z)$ преломления в правой системе координат для вертикально и горизонтально линейно-поляризованных волн.

На рис.4.1 обозначено: $\vec{p} = (\vec{p}_B + \vec{p}_r)$ – единичный вектор ($|\vec{p}|=1$) произвольной левой эллиптической поляризации с линейными горизонтальной \vec{p}_r и вертикальной \vec{p}_B составляющими; $\vec{k} = \frac{2\pi\vec{\alpha}}{\lambda}$ – волновой вектор, характеризуемый единичным вектором $|\vec{\alpha}|=1$ направление $\vec{\alpha}$ падающей на покров плоской электромагнитной волны. В плоскости xOz компоненты единичного вектора $\vec{\alpha} = (\alpha_x, \alpha_y, \alpha_z) = \vec{\alpha}(\cos \vartheta, 0, -\sin \vartheta)$ вертикальной линейно-поляризованной волны, ϑ, ϑ' – углы скольжения и места (возвышения), θ, θ' – падения и отражения; $\vec{\beta}$ – единичный вектор $|\vec{\beta}|=1$ направления отражения при с компонентами $\vec{\beta} = (\beta_x, \beta_y, \beta_z) = \vec{\beta}(\cos \vartheta', 0, \sin \vartheta')$.

Для оценки преломления и поглощения покровом выберем направление падения волны из среды (1) в среду (2) с положительным направлением оси z вниз.

Соотношения между углами падения θ и отражения θ' , скольжения ϑ' и преломления (refraction) ϑ_r , а также выражения для коэффициентов отражения плоской волны с эллиптической поляризацией выведены в [4.2] с использованием граничных условий.

С учётом отражения \vec{E}_r полное поле в первой среде $\vec{E}_1 = \vec{E} + \vec{E}_r$, а во второй среде \vec{E}_2 .

Компоненты волнового вектора \vec{k} с направляющими косинусами относительно осей Ox, Oz в средах (1) и (2) как следует из рис.4.1 можно записать в виде

$$\left. \begin{aligned} k_x &= k_1 \cos \vartheta, & k_{xr} &= k_1 \cos \vartheta', & k_{xw} &= k_2 \cos \vartheta_r, & k_1 &= k \sqrt{\varepsilon'_1} \\ k_z &= -k_1 \sin \vartheta, & k_{zr} &= k_1 \sin \vartheta', & k_{zw} &= -k_2 \cos \vartheta_r, & k_2 &= k \sqrt{\varepsilon'_2} \end{aligned} \right\} \quad (4.2)$$

Для фазового множителя комплексной амплитуды линейной горизонтально-поляризованной волны $E_y = E_0 \exp[i(\vec{k}\vec{r})]$ составляющей E_y полного поля с введением коэффициента отражения $V_r = E_r/E_0$ в среде (1) с учётом коэффициента прохождения W_r волны в среду (2) из (2.2 τ) следует соотношение

$$\exp(ik_1 x \cos \vartheta) + V_r \exp(k_1 x \cos \vartheta') = W_r \exp(k_2 \cos \vartheta_r). \quad (4.3)$$

Для составляющих $H_{1\tau}$ и $H_{2\tau}$ из условий (2.2' τ) и (2.3' n) получаются соответственно выражения:

$$\left. \begin{aligned} -k_1 \sin \vartheta \exp(ik_1 x \cos \vartheta) + k_1 \sin \vartheta' V_r \exp(k_1 x \cos \vartheta) &= \\ &= -k_2 \sin \vartheta_r W_r \exp(k_2 x \cos \vartheta_r); \\ k_1 \cos \vartheta \exp(ik_1 x \cos \vartheta) + k_1 \cos \vartheta' V_r \exp(k_1 x \cos \vartheta) &= \\ &= k_2 \cos \vartheta_r W_r \exp(k_2 x \cos \vartheta_r). \end{aligned} \right\} \quad (4.4)$$

Соотношения (4.3) и (4.4) удовлетворяют граничным условиям (2.2' τ) и (2.3n) только при условии $k_1 \cos \vartheta = k_1 \cos \vartheta' = k_2 \cos \vartheta_r$.

Это возможно в ситуации, когда угол места $\vartheta' = \vartheta$ углу скольжения (или угол отражения $\theta' = \theta$ – углу падения – закон Снеллиуса) и при соблюдении этого закона $k_1 \cos \vartheta = k_2 \cos \vartheta_r$, т.е. $k \sqrt{\varepsilon_1'} \cos \vartheta = k \sqrt{\varepsilon_2'} \cos \vartheta_r$ или

$$\cos \vartheta = n' \cos \vartheta_r, \quad (4.5)$$

где $n' = \sqrt{\varepsilon_2' / \varepsilon_1'}$.

Для границы раздела воздух-покров $\varepsilon_1' = 1$, и, следовательно, всегда $n' > 1$, то равенство (4.5) выполняется, если угол преломления ϑ_r в такой среде всегда больше угла скольжения ϑ , т.е. преломлённая волна «прижимается» к оси z , поэтому величину « n » и называют показателем преломления волны (среды).

В ситуации сред воздух-диэлектрик $\varepsilon_1' = 1$ и $n' = \sqrt{\varepsilon_2'}$ при $\vartheta' = \vartheta$ и $\cos \vartheta = n' \cos \vartheta_r$ из соотношений (4.3) и (4.4) получаются два независимых уравнения

$$\begin{aligned} 1 + V_r &= W_r; \\ k_1 \sin \vartheta \cdot (1 - V_r) &= k_2 \sin \vartheta_r \cdot W_r = k_2 \sqrt{1 - \frac{\cos^2 \vartheta}{n'^2}} (1 + V_r). \end{aligned} \quad (4.6)$$

Из соотношения (4.6) получается выражение

$$V_r(\varepsilon', \vartheta) = \frac{E_r}{E} = \frac{k_1 \sin \vartheta + k_2 \sin \vartheta_r}{k_1 \sin \vartheta - k_2 \sin \vartheta_r} = \frac{\sin \vartheta - \sqrt{\varepsilon' - \cos^2 \vartheta}}{\sin \vartheta + \sqrt{\varepsilon' - \cos^2 \vartheta}}. \quad (4.7)$$

Аналогично выводится выражение и для вертикальной поляризации

$$V_B(\varepsilon', \vartheta) = \frac{\varepsilon' \sin \vartheta - \sqrt{\varepsilon' - \cos^2 \vartheta}}{\varepsilon' \sin \vartheta + \sqrt{\varepsilon' - \cos^2 \vartheta}}. \quad (4.8)$$

Комплексная амплитуда вертикально падающей плоской горизонтально поляризованной электромагнитной волны $\theta = 0$ составляющей $\dot{E}_{2x}(z)$ волны, прошедшей из среды (1) в среду (2) в положительном направлении вниз оси z (пунктир), как следует из (4.1) записывается в виде:

$$E_{2x} = E_2 e^{ik'z} = E_2 e^{ik\sqrt{\varepsilon'}z} = E_2 e^{iknz} e^{-kmz}. \quad (4.9)$$

В (4.9) обозначено:

$$k' = k\sqrt{\varepsilon'} = kn + ikm,$$

где

$$\sqrt{\varepsilon'} = n' = n + im. \quad (4.10)$$

Из выражения (4.9) следует, что "m" - показатель поглощения амплитуды на длине волны λ .

Из соотношений (3.2) и (4.10) следует

$$\left. \begin{matrix} n \\ m \end{matrix} \right\} = \sqrt{|\varepsilon'|} \left\{ \begin{matrix} \cos \frac{\delta}{2} \\ \sin \frac{\delta}{2} \end{matrix} \right. \quad (4.11)$$

В отличие от воздуха (среда (1)), где $k = \frac{2\pi}{\lambda} = \frac{\omega}{c}$, в подстилающем покрове (среда (2)) волновое число распространяющейся волны возрастает в "n" раз, т.е.

$$kn = \frac{2\pi}{\lambda/n} = \frac{\omega}{c/n} = \frac{\omega}{c/\sqrt{|\varepsilon'|} \cos \delta/2} = \frac{\omega}{c_\phi}, \quad (4.12)$$

где

$$c_\phi = \frac{c}{\sqrt{|\varepsilon'|} \cos \delta/2} \quad (4.13)$$

– фазовая скорость в среде (2).

Из соотношения (4.12) следует, что в среде с $n = \sqrt{|\varepsilon'|} \cos \delta/2$ длина волны укорачивается в n раз по сравнению с воздухом ($n = 1$). Это ясно и из такого физического представления. Скорость распространения волны – фазовая скорость c_ϕ (4.13) в среде меньше, чем в воздухе (вакууме), так что при одинаковой частоте ω (временной период $T=2\pi/\omega$) длина волны λ (пространственный цикл) в среде меньше чем в вакууме.

На рис.4.2 приведены зависимости показателя преломления $n = n\left(\lambda, \frac{\omega}{2\pi}\right)$ и поглощения $m = m\left(\lambda, \frac{\omega}{2\pi}\right)$ дистиллированной воды при $t = 20^\circ \text{C}$, вычисленные по соотношениям (4.11) с использованием данных для кривых на рис.4.2, рассчитанных по формулам Дебая (3.3) и (3.4). Сплошные линии - расчет, крестики - обобщенные экспериментальные данные [6].

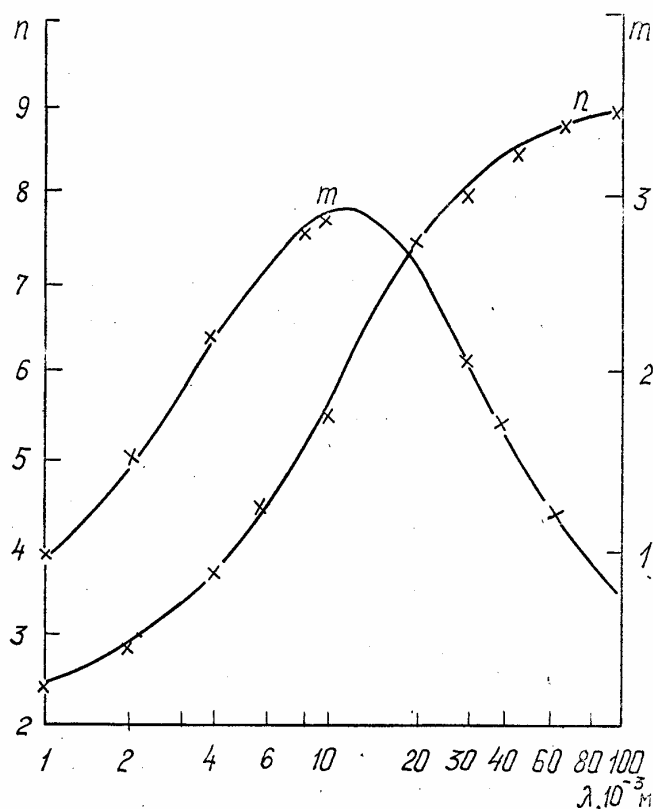


Рис.4.2. Зависимости показателя преломления “ n ” и поглощения “ m ” дистиллированной воды при $t=20^\circ$. Сплошные линии - расчет, крестики - обобщенные экспериментальные данные [6]

Составляющая интенсивности $I_z = E_{2z} E_{2z}^*$ прошедшей в подстилающий покров плоской электромагнитной волны (4.9) записывается в виде:

$$I_z = |E_z|^2 e^{-2kmz} = I_2 e^{-\alpha z}, \quad (4.14)$$

где $\alpha = 2km$ - коэффициент поглощения интенсивности.

Часто пользуются удельным коэффициентом поглощения γ в дБ на единицу пути прохождения [дБ/з] выражение, которое получается из (4.14) путём преобразования выражения $\frac{I_2}{I_z} = e^{\alpha z}$ в

$$10 \lg \frac{I_2}{I_z} = \alpha_z 10 \lg e = 4,34 \alpha z = \Gamma = \gamma z, \text{ откуда}$$

$$\gamma = 4.34 \alpha = 8.68 km = 8.68 \cdot 2\pi \frac{m}{\lambda} = 54.5 \frac{m}{\lambda} [\text{дБ/з}]. \quad (4.15)$$

Проникновение поля на глубину подстилающего покрова - толщину скин-слоя - z_e оценивается по уровню уменьшения поля в $e^{-1} \approx 0,367$ раз, а интенсивность в $e^{-2} = 0,13$ раза.

Как следует из (4.9) это соответствует условию:

$$kmz_e = 1. \quad (4.16)$$

Из (4.15) и (4.16) получается выражение для глубины проникновения поля в подстилающий покров в виде:

$$z_e = \frac{1}{km} = \frac{\lambda}{2\pi m} = \frac{8,68}{\gamma}. \quad (4.17)$$

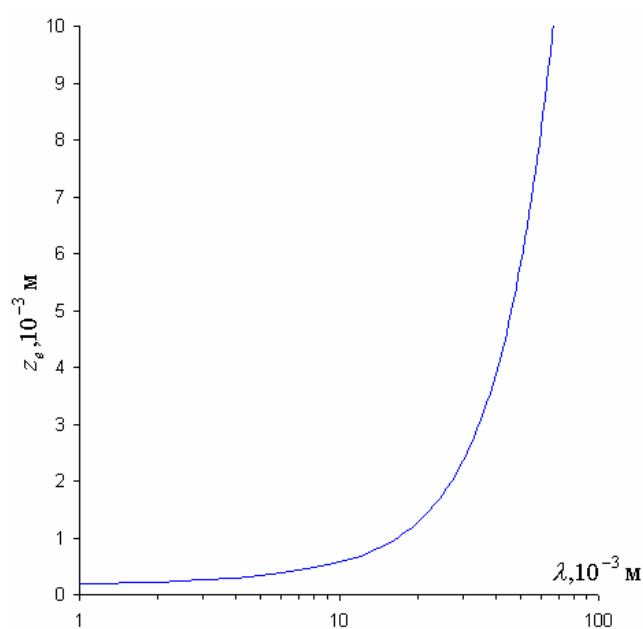


Рис.4.3. Зависимость толщины скин-слоя пресной воды от длины волны, $t=20^\circ\text{C}$

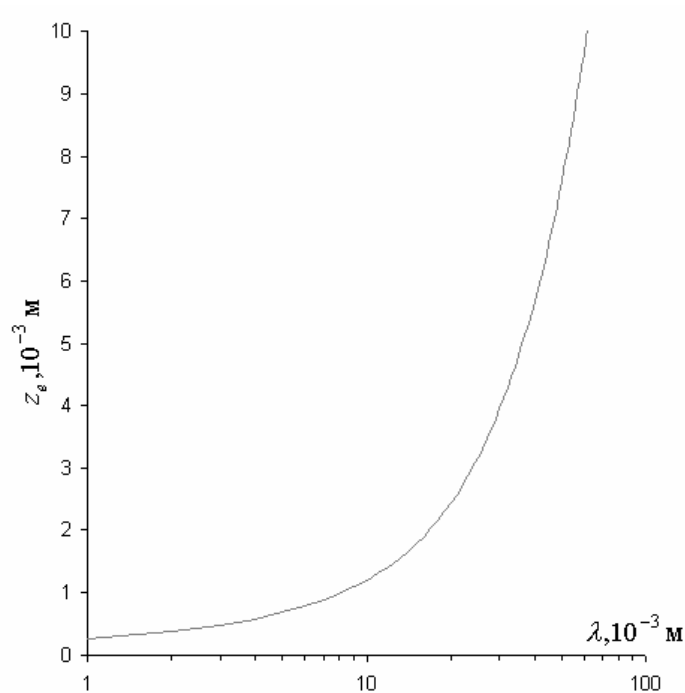


Рис.4.4. Зависимость толщины скин-слоя почвогрунта от длины волны (ПГИ):
 $\{П - 51,3\%; Г - 13,5\%; Ил - 36\%\} = 100\%$

На рис.4.3 приведены зависимости глубины проникновения z_e в пресную воду, а на рис.4.4 - в подстилающий покров грунта волн миллиметрового диапазона.

Из анализа кривых на рис.4.2 следует, что у воды $m=2,64$ для значений $\lambda = 8 \cdot 10^{-3}$ м ($\gamma = 19$ дБ/мм), при этом глубина проникновения на толщину скин-слоя $z_e \approx 0.49 \cdot 10^{-3}$ м. Учитывая, что при $n=4,9$ в воде длина волны $\lambda_2 = \frac{\lambda_1}{n} = \frac{8 \cdot 10^{-3}}{5} \approx 1.6 \cdot 10^{-3}$ м укорачивается более чем в 5 раз, то практически даже в пресную воду ММВ не проникают. Только при температуре воды 50°C ослабляются силы поверхностного натяжения и ММВ проникают несколько глубже.

Аналогичная ситуация с влажным песком. У влажного песка ($\rho_m = 0.2$ г/м³) на $\lambda = 8 \cdot 10^{-3}$ м ($\varepsilon' = 5.3 + i2.7$), с учетом диэлектрических потерь), $\sqrt{|\varepsilon'|} \approx 2.43$, $\frac{\delta}{2} = \frac{1}{2} \arctg \frac{\varepsilon''}{\varepsilon'} = 13.5^\circ$,

$\cos \frac{\delta}{2} = 0.97$, $n = 2.36$, $\gamma = 3.8$ дБ/мм, $z_e = 2,3 \cdot 10^{-3}$ м, толщина скин-слоя $z_e \approx 0.7\lambda_2$. Глубины проникновения в воду и влажный песок по порядку величины примерно одинаковы с пресной водой.

У сухого песка на $\lambda = 2 \cdot 10^{-3}$ м ($\varepsilon' = 2.5 + i6.2 \cdot 10^{-2}$), $n \approx \sqrt{\varepsilon} = 1.58$, $m = 1.95 \cdot 10^{-2}$, ($\gamma = 0.53$ дБ/мм), $z_e \approx 16.2 \cdot 10^{-3}$ м, что соответствует $z_e = 13\lambda_2$.

Рассмотрим особенности коэффициента отражения волны с вертикальной поляризацией границей непоглощающей среды ($\varepsilon'' = 0$, $\varepsilon' = \varepsilon$). Из соотношения (4.8) следует, что числитель обращается в нуль при условии:

$$\varepsilon \sin \vartheta_0 - \sqrt{\varepsilon - \cos^2 \vartheta_0} = 0,$$

которое преобразуется в равенство

$$\varepsilon^2 \sin^2 \vartheta_0 = \varepsilon - 1 + \sin^2 \vartheta_0.$$

После объединения $\sin^2 \vartheta_0$ получается:

$$(\varepsilon^2 - 1) \sin^2 \vartheta_0 = \varepsilon - 1, \text{ откуда } \sin \vartheta_0 = \frac{1}{\sqrt{\varepsilon + 1}}.$$

Поскольку

$$\cos \vartheta_0 = \sqrt{1 - \sin^2 \vartheta_0} = \sqrt{1 - \frac{1}{\varepsilon + 1}} = \sqrt{\frac{\varepsilon}{\varepsilon + 1}},$$

то

$$\operatorname{tg} \vartheta_0 = \frac{\sin \vartheta_0}{\cos \vartheta_0} = \frac{\sqrt{\varepsilon + 1}}{\sqrt{\varepsilon + 1} \sqrt{\varepsilon}} = \frac{1}{\sqrt{\varepsilon}} = \frac{1}{n}. \quad (4.18)$$

Из соотношения (4.19) следует, что для непоглощающего покрова скользящий угол отражения

$$\vartheta_0 = \operatorname{arctg} \frac{1}{n}. \quad (4.19)$$

Для сухого песка $\varepsilon' = 2,5 + i6,2 \cdot 10^{-2}$, $n = 1,58$ по соотношению (4.19) получается $\vartheta_0 \approx 32^\circ$.

Через модуль (амплитуду) $|V|$ и аргумент (фазу) φ_V соотношения (4.7) и (4.8) записываются в виде:

$$V(\vartheta, \varepsilon') = |V(\vartheta, \varepsilon')| e^{i\varphi_V(\vartheta, \varepsilon')}. \quad (4.20)$$

На рис.4.5 приведены зависимости от ϑ и ε' модулей френелевских коэффициентов отражения воды и сухого песка. Пунктир - обозначает горизонтальную поляризацию, сплошная - вертикальная. 1 - $\lambda = 8 \cdot 10^{-3}$ м, 2 - $\lambda = 2 \cdot 10^{-3}$ м, 3 - сухого песка.

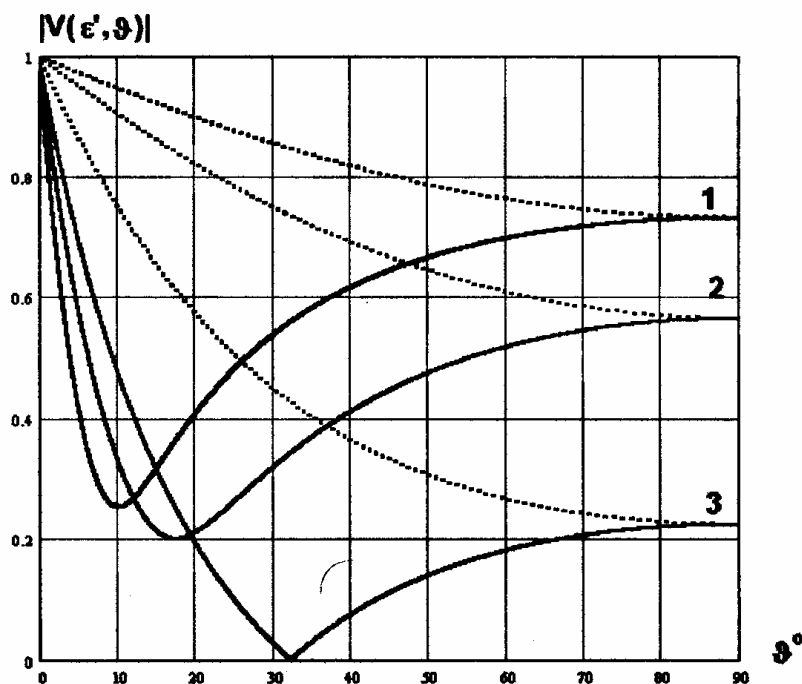


Рис.4.5. Зависимости от ϑ и ε' модулей френелевских коэффициентов отражения воды и сухого песка. Пунктир - горизонтальная поляризация, сплошная - вертикальная. 1 - $\lambda = 8 \cdot 10^{-3}$ м, 2 - $\lambda = 2 \cdot 10^{-3}$ м, 3 - сухого песка

На рис.4.6 представлены соответствующие рис.4.2 зависимости изменения фазы.

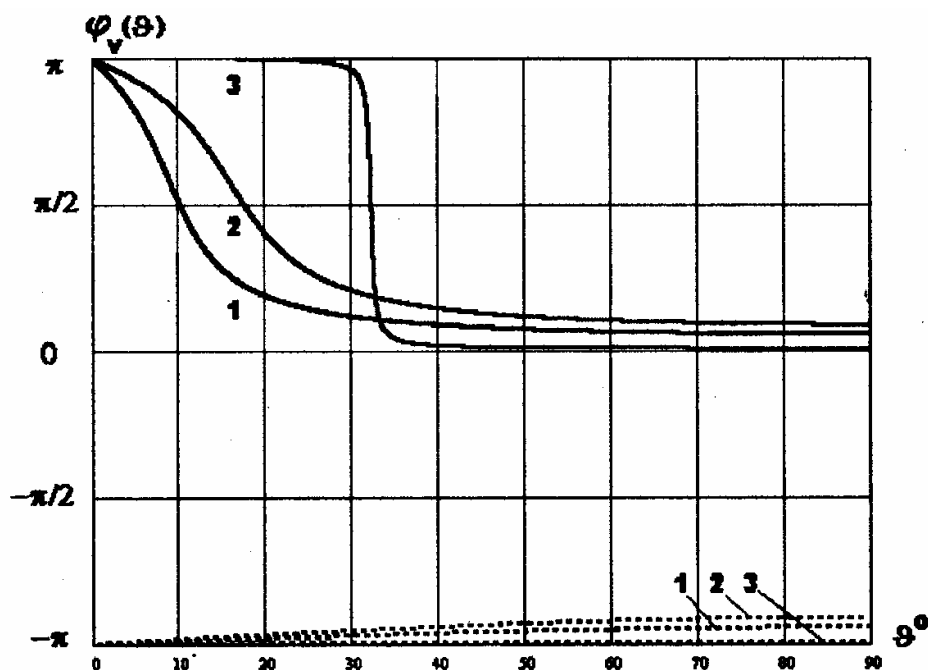


Рис.4.6. Зависимости от ϑ и ε' фазы френелевских коэффициентов отражения воды и сухого песка. Пунктир – горизонтальная поляризация, сплошная – вертикальная. 1 – $\lambda=8 \cdot 10^{-3}$ м, 2 – $\lambda=2 \cdot 10^{-3}$ м, 3 – сухого песка

Из данных на рис.4.5 и рис.4.6 следует, что отраженная непоглощающим покровом ($m=0$) горизонтально поляризованная волна запаздывает по фазе на π практически во всем интервале углов 0° – 90° , от скольжения ($\vartheta=0^\circ$), до вертикального падения ($\vartheta=90^\circ$). Тогда как отраженная вертикально поляризованная волна до значения угла Брюстера ($\vartheta_0=32^\circ$) опережает по фазе на π и только при угле Брюстера происходит скачок изменения фазы на π с сохранением до его угла скольжения ($\vartheta=0^\circ$).

5. Составляющие комплексной амплитуды плоской волны, отраженной гладким земным покровом

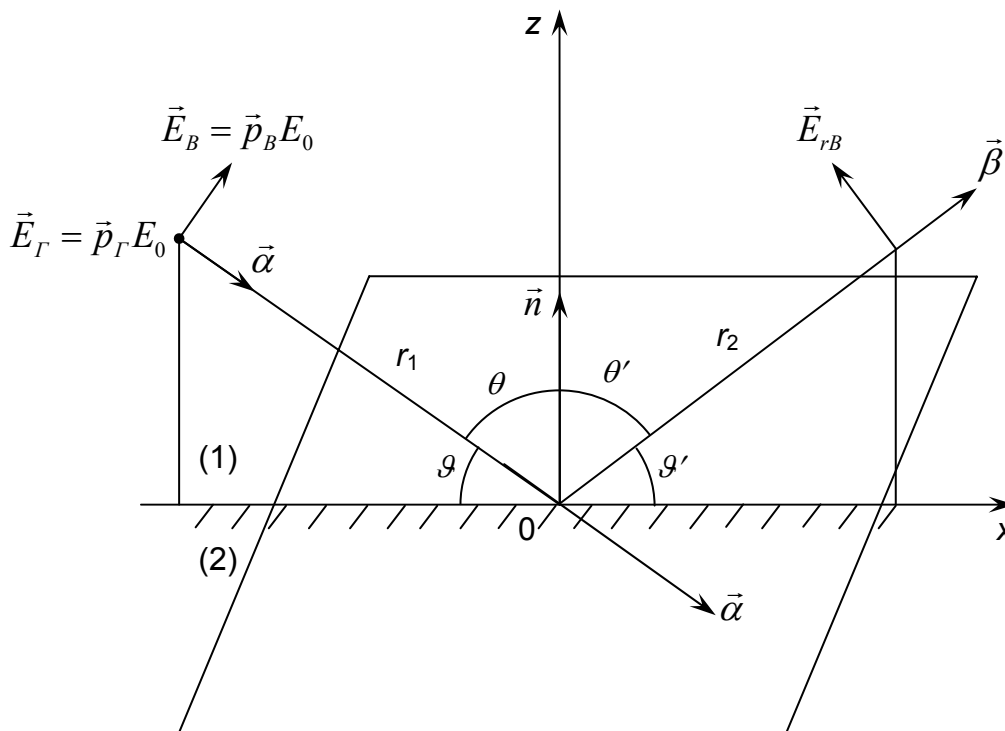


Рис.5.1. Геометрическая схема отражения плоской волны

Для установления зависимостей составляющих отраженного поля E_{ri} от составляющих падающей на гладкий покров плоской волны с произвольной поляризацией по геометрической схеме рис.5.1 целесообразно падающую $\vec{E} = \vec{E}(E_1, E_2, E_3) = \vec{E}(E_x, E_y, E_z)$ и отраженную $\vec{E}_r = \vec{E}_r(E_{r1}, E_{r2}, E_{r3})$ волны описывать в базисе углов единичных векторов нормали в верхнем полупространстве

$$\vec{n} = \vec{n}(n_1, n_2, n_3) = \vec{n}(n_x, n_y, n_z) = \vec{n}(0, 0, 1) \quad (5.1)$$

и составляющих направления падения $\vec{\alpha}$ в виде составляющих $\cos \vartheta$ и $-\sin \vartheta$

$$\vec{\alpha} = \vec{\alpha}(\alpha_1, \alpha_2, \alpha_3) = \vec{\alpha}(\alpha_x, \alpha_y, \alpha_z) = \vec{\alpha}(\cos \vartheta, 0, -\sin \vartheta). \quad (5.2)$$

Аналогично, составляющие падающей волны записываются в виде

$$\begin{aligned} \vec{E}_{B,\Gamma} &= \vec{E}(E_x^{B,\Gamma}, E_y^{B,\Gamma}, E_z^{B,\Gamma}), \text{ где} \\ E_x^B &= E p_x^B = E \cos \vartheta, \quad E_y^B = 0, \quad E_z^B = E \sin \vartheta, \\ E_x^\Gamma &= E, \quad E_y^\Gamma = E_z^\Gamma = 0. \end{aligned}$$

При этом волны с произвольной поляризацией \vec{E} и \vec{E}_r представляются как суммы волн с ортогональными составляющими горизонтальной \vec{E}_Γ и вертикальной \vec{E}_B поляризациями в виде

$$\left. \begin{aligned} \vec{E} &= \vec{E}_B + \vec{E}_\Gamma = E \vec{\rho}_B + E \vec{\rho}_\Gamma, \\ \vec{E}_r &= \vec{E}_{rB} + \vec{E}_{r\Gamma} = E_r \vec{\rho}_B + E_r \vec{\rho}_\Gamma, \end{aligned} \right\} \quad (5.3)$$

В результате векторных преобразований получается выражение

$$\vec{E}_r = V_\Gamma \vec{E} - \frac{(\vec{E}\vec{n})}{\cos^2 \vartheta} \left\{ (V_\Gamma - V_B \cos 2\vartheta) \vec{n} + \sin \vartheta (V_\Gamma + V_B) \vec{\alpha} \right\}, \quad (5.4)$$

где ϑ - угол скольжения падающей волны.

Аналогичное выражение получается и для отражённой комплексной амплитуды магнитного поля \vec{H}_r с очевидной заменой в (5.4) в множителе перед \vec{n} коэффициентов отражения V_Γ на V_B и V_B на V_Γ .

Соотношение для преломлённых волн в поглощающей среде имеет аналогичный (5.4) вид с заменой коэффициентов отражения V_Γ и V_B на соответствующие коэффициенты прохождения и учёта комплексного показателя преломления волны n'_2 в поглощающей второй среде.

Заметим, что по определению, скалярное произведение \vec{E} и \vec{n} в (5.4) записывается в виде суммы произведений их составляющих

$$(\vec{E}\vec{n}) = \sum_{j=1}^3 E_j n_j = E_1 n_1 + E_2 n_2 + E_3 n_3. \quad (5.5)$$

Из соотношений (5.4) и (5.5) следует, что составляющие вектора \vec{E}_r отраженной волны в прямоугольной системе координат являются линейной функцией составляющих векторов падающей волны \vec{E} и соответствующих составляющих $V=V(V_B, V_\Gamma)$ френелевских коэффициентов отражения. Для получения этой функции в компактной форме целесообразно i -ые составляющие \vec{E} записать через символы δ_{ij} Кронекера

$$\delta_{ij} = \begin{cases} 1, & \text{при } i = j, \\ 0, & \text{при } i \neq j. \end{cases} \quad (5.6)$$

в виде

$$E_i = \delta_{ij} E_j, \quad (5.7)$$

где для i -ой составляющей осуществляется суммирование по $j = 1, 2, 3$.

После подстановки (5.6) и (5.7) в (5.4) для i -ой составляющей отраженного поля получается выражение:

$$\vec{E}_{ri} = V_r \delta_{ij} E_j - \frac{1}{\cos^2 \vartheta} \sum_{j=1}^3 E_j n_j \left\{ (V_r - V_B \cos 2\vartheta) n_i + \sin \vartheta (V_r + V_B) \alpha_i \right\}$$

После вынесения E_j за фигурную скобку, перемножения n_j и n_i , n_j и α_i выражения E_{ri} преобразуется к виду

$$E_{ri} = \left\{ \begin{array}{l} V_r \delta_{ij} - \frac{1}{\cos^2 \vartheta} \times \\ \times \sum_{j=1}^3 \left[(V_r - V_B \cos 2\vartheta) n_i n_j + \sin \vartheta (V_r + V_B) \alpha_i n_j \right] \end{array} \right\} E_j. \quad (5.8)$$

Выражение в фигурной скобке (5.8) обозначим через комплексную функцию

$$T_{ij} = V_r \delta_{ij} - \frac{1}{\cos^2 \vartheta} \sum_{j=1}^3 \left[(V_r - V_B \cos 2\vartheta) n_i n_j + \sin \vartheta (V_r + V_B) \alpha_i n_j \right]. \quad (5.9)$$

С использованием обозначения T_{ij} (5.9) соотношение (5.8) записывается в форме

$$E_{ri} = \sum_{j=1}^3 T_{ij} E_j. \quad (5.10)$$

Раскрытое выражение (5.10) в форме матрицы преобразования T_{ij} составляющих E_1, E_2, E_3 падающей волны в составляющие E_{r1}, E_{r2}, E_{r3} отраженной волны записывается в виде

$$\begin{aligned} E_{r1} &= T_{11} E_1 + T_{12} E_2 + T_{13} E_3; \\ E_{r2} &= T_{21} E_1 + T_{22} E_2 + T_{23} E_3; \\ E_{r3} &= T_{31} E_1 + T_{32} E_2 + T_{33} E_3. \end{aligned} \quad (5.11)$$

По определению матрица T_{ij} является тензором второго ранга.

Часто для краткости знак $\sum_{j=1}^3$ суммирования по повторяющемуся индексу ($j = 1, 2, 3$) в строках опускают и выражение (5.10) записывают в компактной форме

$$E_{ri} = T_{ij} E_j. \quad (5.12)$$

Для определения элементов матрицы T_{ij} согласно (5.9) требуются элементы δ_{ij} , произведений $n_i n_j$ и $\alpha_i n_j$. В [5.1] из соотношения (5.9) с использованием расписанных по строкам (столбцам) символов Кронекера δ_{ij} , нормалей $n_i n_j$, направления падения и нормали $\alpha_i n_j$ получены элементы тензора отражения T_{ij} в виде

$$T_{ij} = \left\{ \begin{array}{ccc} V_{\Gamma} & 0 & -\operatorname{tg} \vartheta (V_{\Gamma} + V_B) \\ 0 & V_{\Gamma} & 0 \\ 0 & 0 & V_B \end{array} \right\}. \quad (5.13)$$

В качестве примера рассмотрим составляющие E_{rx}, E_{ry}, E_{rz} отраженной волны при падении только линейной вертикально поляризованной плоской волны $\vec{E}_B = E \vec{p}_B = \vec{E}(E \sin \vartheta, 0, E \cos \vartheta) = \vec{E}(E_1, E_2, E_3)$. Из соотношений (5.11) и (5.13) получается

$$\left. \begin{array}{l} E_{rx}^B = T_{11} E_1^B + T_{13} E_3^B = V_B E \sin \vartheta, \\ E_{ry}^B = 0, \\ E_{rz}^B = V_B E \cos \vartheta. \end{array} \right\} \quad (5.14)$$

Из выражений (5.14) следует, что составляющие E_{rx}, E_{ry} отраженной волны содержат только составляющие вертикально поляризованной волны и в качестве множителя комплексные френелевские коэффициенты отражения волны с вертикальной поляризацией.

При падении волны с горизонтальной поляризацией $\vec{E}_{\Gamma} = \vec{E}(0, E_{\Gamma}, 0)$ компоненты отраженной волны записываются в виде

$$\left. \begin{array}{l} E_{rx} = 0, \\ E_{ry} = T_{22} E_2 = V_{\Gamma} E_{\Gamma}, \\ E_{rz} = 0. \end{array} \right\} \quad (5.15)$$

Из рассмотренных примеров следует, что при отражении волны плоской границей раздела в плоскости xOz деполяризация волн отсутствует. Составляющие с вертикальной и горизонтальной поляризацией отраженного поля $E_{rx,z}$ выражаются как произведение френелевских коэффициентов отражения и соответствующей поляризационной составляющей падающего поля, в отличие от выпуклых границ раздела правильной формы (шар, цилиндр и т.п.).

6. Френелевские зоны излучения апертурных антенн с круговым раскрывом

Математические задачи излучения круговой апертурной антенны с радиусом ρ_0 и дифракции на круглом радиопрозрачном отверстии в экране во френелевском (малоугловом) приближении в предположении Кирхгофа адекватны [].

Исторически сложилось так, что явление дифракции света на круглом отверстии в экране было изучено теоретически и экспериментально ещё в XIX веке многими учёными.

Поэтому неудивительно, что в теории излучения антенн ММВ пользуются терминами: зоны Френеля на апертуре антенны (отверстии) – перпендикулярные направлению распространения, а также зоны наблюдения (приёма) излучения антенны (дифракции на отверстии) Френеля и Фраунгофера, выделенные вдоль направления распространения излучения по оси x .

Излучение антенны и распространение пучка в свободном пространстве будем рассматривать по геометрической схеме, представленной на рис.6.1.

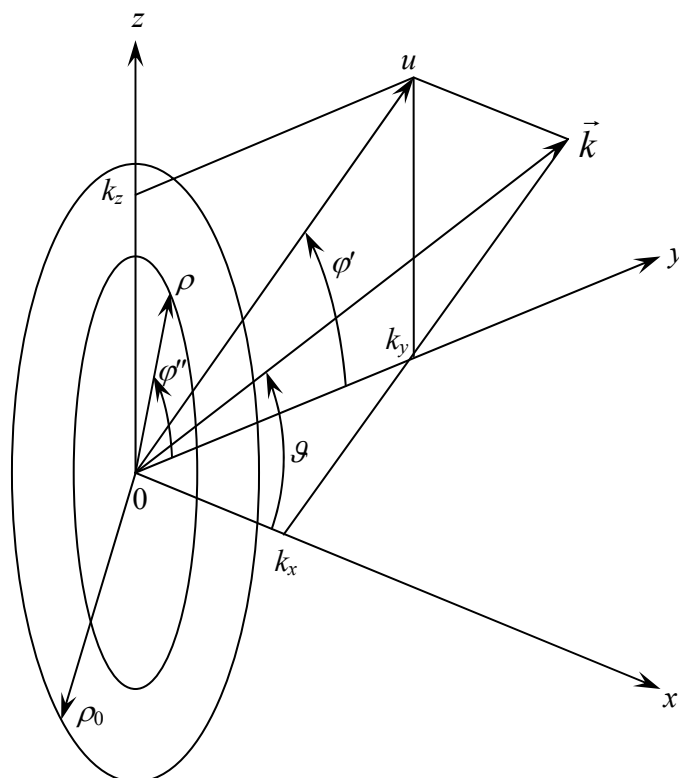


Рис.6.1. Геометрическая схема разложения волнового вектора \vec{k} по составляющим $k_{x,y,z}$ в правой прямоугольной (x,y,z) , цилиндрической (x,ρ,φ'') и полярной (ρ,φ') системах координат.

В спектральном представлении зависимость комплексной амплитуды $E(x,y,z)$ поля получается из решения волнового уравнения по Релею в прямоугольной правой системе координат x,y,z как двумерное Фурье-преобразование произведения углового спектра плоских волн

$\widehat{E}(0, u_1, u_2)$ распределения комплексной амплитуды поля $E(0, y, z)$ по апертуре антенны и частотной характеристики слоя свободного пространства тропосферы протяженностью x . Спектр плоских волн $\widehat{E}(u_1, u_2)$ как прямое двумерное Фурье-преобразование распределения комплексной амплитуды поля $E(0, y, z)$ описывается выражением

$$\widehat{E}(u_1, u_2) = \int_{-\infty}^{\infty} \int_{-\infty}^{\infty} E(0, y, z) \exp[-i(u_1 y + u_2 z)] dy dz. \quad (6.1)$$

и соответственно обратное Фурье-преобразование

$$E(0, y, z) = \frac{1}{(2\pi)^2} \int_{-\infty}^{\infty} \int_{-\infty}^{\infty} \widehat{E}(u_1, u_2) \exp[i(u_1 y + u_2 z)] du_1 du_2. \quad (6.2)$$

В (6.2) обозначено

$$k_y = u_1; k_z = u_2, \text{ следовательно } k_x = \sqrt{k^2 - k_y^2 - k_z^2} = \sqrt{k^2 - u_1^2 - u_2^2}.$$

Распространение вдоль оси x плоской волны, а следовательно, и спектра плоских волн пучка ММ-волн описывается решением волнового уравнения (уравнение Гельмгольца)

$$d^2 \widehat{E}(x, u_1, u_2) - u_1 \widehat{E}(x, u_1, u_2) - u_2 \widehat{E}(x, u_1, u_2) + k^2 \widehat{E}(x, u_1, u_2) = 0.$$

с использованием экспоненциальной функции $\widehat{E} \sim e^{\beta x}$. Выражение для β получается из характеристического уравнения в виде

$$\beta^2 + (k^2 - u_1^2 - u_2^2) = 0,$$

из которого следует $\beta = \pm i \sqrt{k^2 - u_1^2 - u_2^2}$.

Для распространяющихся плоских волн выбирается $\beta_1 = i \sqrt{k^2 - u_1^2 - u_2^2}$.

Так что решение для углового спектра $\widehat{E}(x, u_1, u_2)$ получается в виде произведения углового спектра плоских волн комплексной амплитуды на раскрытие апертуры антенны и угловой спектральной характеристики слоя « x » среды распространения

$$\widehat{E}(x, u_1, u_2) = \widehat{E}(0, u_1, u_2) \exp\left[ix \sqrt{k^2 - u_1^2 - u_2^2}\right].$$

В соответствии с обратным Фурье-преобразованием аналогичному (6.2) комплексная амплитуда $E(x, y, z)$ записывается в виде

$$E(x, y, z) = \frac{1}{(2\pi)^2} \int_{-\infty}^{\infty} \int_{-\infty}^{\infty} \widehat{E}(0, u_1, u_2) \exp\left(ix \sqrt{k^2 - u_1^2 - u_2^2}\right) \times \\ \times \exp[i(u_1 y + u_2 z)] du_1 du_2, \quad (6.3)$$

Для круглой апертуры антенны (рис.6.1) для снижения кратности

интегрирования целесообразно перейти из прямоугольной системы координат yz ; $u_1 u_2$ в полярную $\rho\varphi$.

Из геометрических построений на рис.6.1 получаются соотношения

$$\begin{aligned} u_1 &= k \sin \vartheta \cos \varphi'; & y &= \rho \cos \varphi'', \\ u_2 &= k \sin \vartheta \sin \varphi'; & z &= \rho \sin \varphi''. \end{aligned} \quad (6.4)$$

Из (6.4) следует

$$u = \sqrt{u_1^2 + u_2^2} = k \sin \vartheta, \quad k_x = \sqrt{k^2 - u^2}$$

После преобразования переменных с учетом осесимметричности апертуры соотношение (6.3) приобрело вид

$$E(x, \rho) = \frac{1}{2\pi} \int_0^\infty \hat{E}(u) \exp(i x \sqrt{k^2 - u^2}) u du \frac{1}{2\pi} \int_0^{2\pi} \exp(i u \rho \cos \varphi_-) d\varphi_-, \quad (6.5)$$

где $\varphi_- = \varphi' - \varphi''$.

Интеграл

$$I_\varphi = \frac{1}{2\pi} \int_0^{2\pi} \exp(i u \rho \cos \varphi_-) d\varphi_- = \frac{1}{\pi} \int_0^\pi \exp(i u \rho \cos \varphi_-) d\varphi_- = J_0(u\rho).$$

является табличным []. После подстановки I_φ в выражение (6.5) оно преобразуется к виду

$$E(x, \rho) = \frac{1}{2\pi} \int_0^\infty \hat{E}(u) \exp(i x \sqrt{k^2 - u^2}) u J_0(u\rho) du. \quad (6.6)$$

С учетом обозначения

$$K(x, u) = \exp(i x \sqrt{k^2 - u^2}) \quad (6.7)$$

выражение (6.6) представляется в виде

$$E(x, \rho) = \frac{1}{2\pi} \int_0^\infty \hat{E}(u) K(x, u) u J_0(u\rho) du. \quad (6.8)$$

При $x=0$, $K(0, u)=1$, $E(0, \rho)=E(\rho)$ и соотношение (6.6) становится частным случаем преобразования Ханкеля и в совокупности с прямым преобразованием $\hat{E}(u)$ образуют пару преобразований Фурье-Бесселя в виде

$$\hat{E}(u) = 2\pi \int_0^\infty E(0, \rho) \rho J_0(u\rho) d\rho. \quad (6.9)$$

$$E(\rho) = \frac{1}{2\pi} \int_0^{\infty} \widehat{E}(u) u J_0(u\rho) du. \quad (6.10)$$

Описание комплексной амплитуды поля выражением (6.8) интерпретируют как преобразование углового спектра $\widehat{E}(u)$ слоем линейной среды распространения свободного пространства атмосферы протяженностью x с угловой спектральной характеристикой $K(x, u)$ по аналогии с преобразованием временного частотного спектра $\widehat{S}(i\omega)$ радиотехническими линейными цепями с частотной характеристикой $K(i\omega)$ и временным входным сигналом $S(t)$.

Для равноамплитудной синфазной комплексной амплитуды на раскрыве параболической антенны радиуса ρ_0 угловой спектр $\widehat{E}(u\rho_0)$ как преобразование Фурье-Бесселя (6.9) с использованием преобразованного табличного интеграла []

$$I_\rho = \int_0^{\rho_0} J_0(u\rho) \rho d\rho = \frac{\rho_0}{u} J_1(u\rho_0) = \frac{\rho_0^2 J_1(u\rho_0)}{u\rho_0} = \rho_0^2 \frac{2J_1(u\rho_0)}{2u\rho_0} = \frac{\rho_0^2}{2} \Lambda_1(u\rho_0)$$

записывается в виде

$$\widehat{E}(u\rho_0) = 2\pi E_0 \int_0^{\rho_0} J_0(u\rho) \rho d\rho = E_0 \Sigma_0 \frac{2J_1(u\rho_0)}{u\rho_0} = E_0 \Sigma_0 \Lambda_1(u\rho_0), \quad (6.11)$$

где $u\rho_0 = k\rho_0 \sin \vartheta$, $\Lambda_1(u\rho_0)$ – лямбда-функция первого порядка [6.4], $\Sigma_0 = \pi\rho_0^2$ – геометрическая площадь апертуры антенны.

Соотношение (6.11) – пример общего вывода о том, что формируемая в волновой зоне диаграмма направленности антенны $F(\vartheta) = \widehat{E}(u\rho_0) / \widehat{E}(0)$ представляет нормированный угловой спектр.

На рис.6.2 приведена зависимость нормированного модуля $|F(\vartheta)|$ углового спектра с равноамплитудной синфазной комплексной амплитудой на осесимметричном раскрыве антенны с $\rho_0 = 1,1 \cdot 10^{-1}$ м, $\lambda = 10,5 \cdot 10^{-3}$ м [6.6].

Во френелевском (малоугловом) приближении $u/k = \sin \vartheta = \rho/x \ll 1$ возможно упрощение угловой спектральной характеристики $K(x, u)$.

В показателе экспоненциальной функции (6.6) выражение $\sqrt{k^2 - u^2} = k_x$ ограничивают квадратичным членом разложения

$$k_x \cong k \left(1 - \frac{u^2}{2k^2} \right). \quad (6.12)$$

Приближение (6.12) соответствует малым углам $\vartheta \ll 1$ и отклонениям ρ от оси x . Поэтому приближение (6.12) также называют малоугловым.

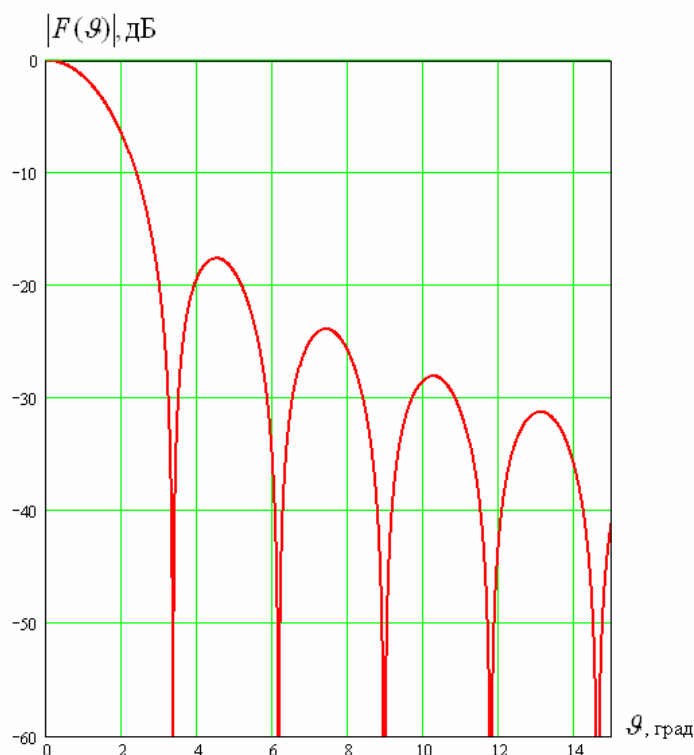


Рис.6.2. Нормированный на максимум модуль углового спектра (диаграммы направленности) передающей антенны с равноамплитудным синфазным распределением

В приближении (6.12) угловая спектральная характеристика среды распространения (6.7) становится квадратичной и соотношение (6.8) преобразуется к виду:

$$E(x, \rho) = \frac{e^{ikx}}{2\pi} \int_0^{\infty} \hat{E}(u) \exp\left(-\frac{iu^2x}{2k}\right) u J_0(u\rho) du. \quad (6.13)$$

Для упрощения и наглядности обычно предполагают на раскрыве излучающей антенны равноамплитудный синфазный (плоский) фазовый фронт. Образование зон Френеля на апертуре антенны рассматривают по схемам, приведенным на рис.6.3а и рис.6.3б. Из точки на расстоянии x от фазового центра апертуры на раскрыве антенны (в плоскости $0yz$) выделяют изображенные на рис.6.3а зоны излучения (дифракции на круглом отверстии) приходящего в точку приема x (рис.6.3б) (светлые круг, кольца и темные кольца) отличающиеся по фазе на $\pi/2$. Из рассмотрения треугольника на рис.6.3б с катетами 0ρ , $0x$ и гипотенузой $r=x+\Delta r$ следует, что разность фаз образуется из-за разности хода $\Delta r = \sqrt{x^2 + \rho^2} - x$ между координатами ρ плоского фазового фронта на раскрыве антенны и радиусом x точки виртуальной сферической поверхности равных фаз, излучение которой поступает в фазе в точку приёма x . Круг и кольца на апертуре антенны (отверстии) называют зонами Френеля на апертуре антенны (отверстии).

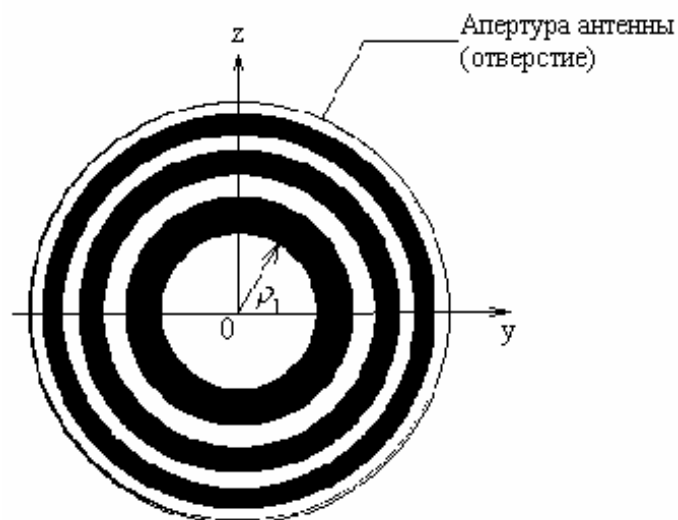


Рис.6.3а. Зоны Френеля на апертуре антенны (отверстия)

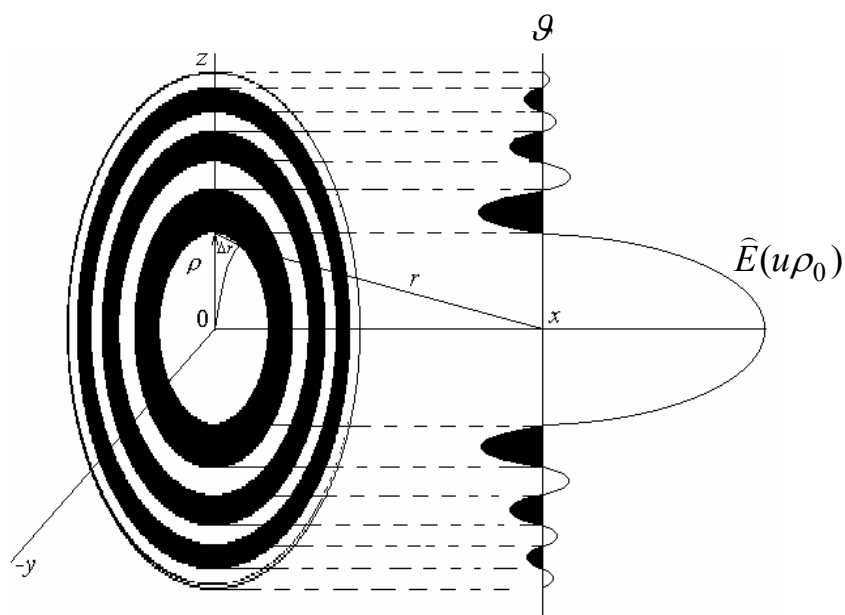


Рис.6.3б. Апертура параболической антенны с нанесёнными зонами Френеля и вынесенное качественное сечение углового спектра $\hat{E}(\vartheta) = \hat{E}(k\rho_0 \sin \vartheta)$ равноамплитудного осесимметричного распределения поля $E(0,\rho) = E_0$ на плоскости $0yz$ (ρ, φ'') рис.6.3а

Для установления зависимости радиусов ρ_m зон Френеля на интервале апертуры ρ в пределах сохранения френелевского (квазиоптического) приближения $\rho/x \leq 1$ разность хода Δr оценивали по соотношению:

$$\Delta r = \sqrt{x^2 + \rho^2} - x = x \sqrt{1 + \frac{\rho^2}{x^2}} - x \approx \frac{\rho^2}{2x}$$

с разложением в ряд слагаемого $x \sqrt{1 + \frac{\rho^2}{x^2}}$ и сохранением только чле-

на разложения $\Delta r \approx \rho^2/2x$.

Разность фаз $\Delta\varphi$ соответствующая такой разности хода Δr описывается выражением

$$\Delta\varphi = k\Delta r \approx \frac{k\rho^2}{2x} = \frac{\pi\rho^2}{\lambda x}. \quad (6.14)$$

Зоны Френеля нумеруют [6.2], исходя из равенства:

$$\frac{\pi\rho_m^2}{\lambda x} = \frac{\pi}{2}m, \quad m = 1, 2, \dots, N, \quad (6.15)$$

$$\text{откуда } \rho_m = \sqrt{\frac{m\lambda x}{2}}, \quad (6.16)$$

$$\text{а } \rho_1 = \sqrt{\frac{\lambda x}{2}} \quad (6.17)$$

– радиус первой зоны Френеля (радиус светлого круга на рис.6.1).

Можно показать, что площади френелевских m -ных колец описываемых соотношением

$$\Sigma_m = \frac{\pi\lambda x}{2} = \pi\rho_1^2 \quad (6.18)$$

являются одинаковыми равными площади круга с радиусом первой зоны Френеля.

Ширина же френелевских колец $\delta\rho_m = \rho_1/(\sqrt{m} + \sqrt{m-1})$ уменьшается с ростом номера радиуса m , что иллюстрирует рис.6.3а.

Зонам Френеля в трёхмерном пространстве соответствуют френелевские эллипсоиды [6.2].

При ограниченной апертуре ρ_a по мере удаления от антенны (возрастание x), радиус первой зоны Френеля (6.9) увеличивается, а число зон Френеля на апертуре уменьшается и при $\sqrt{\lambda x/2} = \rho_0$ основной вклад элементарных источников будет определяться кругом на апертуре с радиусом первой зоны Френеля ρ_1 [6.2].

Для классификации зон приёма излучения антенны (дифракции на круглом отверстии с радиусом ρ_0 в непрозрачном экране) вдоль оси x вводят волновой параметр P как отношение первого радиуса зоны Френеля ρ_1 к радиусу апертуры $\rho_a = \rho_0$ (отверстия)

$$P = \frac{\rho_1}{\rho_0} = \frac{\sqrt{\lambda x/2}}{\rho_0}. \quad (6.19)$$

При $P < 0,1$ сохраняя в (6.12) лишь линейный член $k_x \approx k$, ($u=0$), т.е. пренебрегая квадратичным членом ($u^2/2k^2 = \sin^2 \vartheta/2 = 0$) частотная характеристика $K(x,u) \approx K(x,0) = e^{ikx}$. При этом соотношение (6.1) преобразуется к виду

$$E(x, \rho) = \frac{e^{ikx}}{2\pi} \int_0^{\infty} \widehat{E}(u) u J_0(u\rho) du. \quad (6.20)$$

В соответствии с (6.10) интеграл (6.20) представляет распределение комплексной амплитуды по апертуре $E(0, \rho)$. С учетом этого выражение (6.13) преобразуется к виду:

$$E(x, \rho) = e^{ikx} E(0, \rho). \quad (6.21)$$

Из соотношения (6.21) следует, что при малом волновом параметре $P < 0,1$ в приближении линейной фазы $\varphi(x) = kx$ угловой спектральной характеристики слоя свободного пространства среда распространения пропускает весь спектр вдоль оси x без поглощения и амплитуда пучка сохраняет форму распределения амплитуды по апертуре, а изменяется лишь фаза [8].

Из приведенного наглядного спектрального анализа следует, что вдоль оси x (направление распространения пучка) до значений волнового параметра $P < 0,1$ существует зона приёма с амплитудой поля, совпадающей с амплитудой на апертуре. Эта зона приёма излучения называется геометрооптической.

Зона в интервале волнового параметра $0,1 < P \leq 1$ называется переходной (френелевской) от геометрооптической к волновой $P > 1$ (фраунгоферовой).

Для определения протяженности переходной френелевской зоны наблюдения целесообразно наглядно судить по нормированной на E_0 единичной амплитуде $A(x, \rho)$ (модуля) комплексной функции (6.13), определяемой из представления $E(x, \rho)/E_0$ в виде

$$\frac{E(x, \rho)}{E_0} = A(x, \rho) \exp[i\varphi_E(x, \rho)], \quad (6.22)$$

Из соотношений (6.13) и (6.22) получаем выражение амплитуды

$$A(x, \rho) = \frac{1}{2\pi} \left| \int_0^{\infty} \widehat{E}(u) \exp\left(-i\frac{u^2 x}{2k}\right) u J_0(u\rho) du \right| \quad (6.23)$$

и $\varphi_E(x, \rho) = \arg[E(x, \rho)/E_0]$ – фазы комплексной амплитуды с учетом фазы распределения поля по апертуре антенны и угловой спектральной характеристики во френелевском приближении (6.12).

Зависимость от расстояния x амплитуды $A(x, 0)$ на оси пучка получается из (6.23) при $\rho=0$ как модуль преобразования Френеля углового спектра в виде:

$$A(x, 0) = \frac{1}{2\pi} \left| \int_0^{\infty} \widehat{E}(u) \exp\left(-i\frac{u^2 x}{2k}\right) u du \right|. \quad (6.24)$$

В координатном же представлении вычисление интеграла Кирхгофа интегрирование по ρ допустимо лишь на ограниченной апертуре $[0, \rho_0]$, что приводит к громоздким выражениям.

При вычислении зависимости амплитуды пучка в геометрооптической и переходной (френелевской) зонах приёма по соотношению (6.24) интегрирование углового спектра $\hat{E}(u)$ допустимо на интервале $[0, \infty]$ составляющих u волнового вектора \vec{k} .

Это одна из причин целесообразности решения задачи методом Релея во френелевской зоне наблюдения.

На рис.6.4 приведены зависимости от x и P амплитуды $A(x,0)$ в геометрооптической, переходной (френелевской) и дальней зонах.

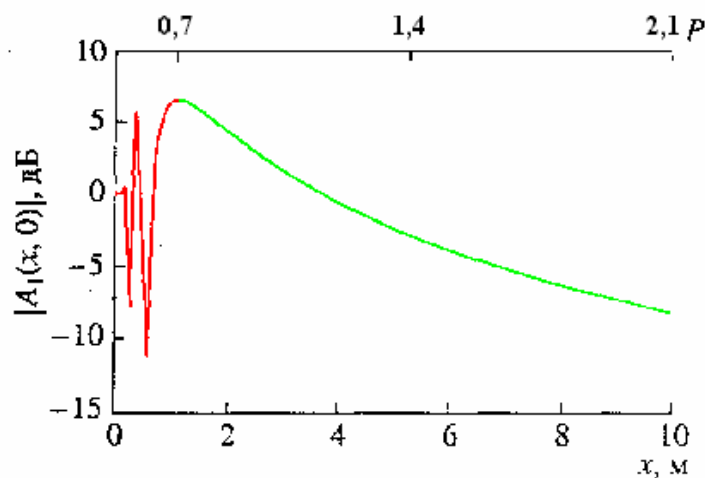


Рис.6.4. Зависимость от x амплитуды на оси пучка $A(x,0)$ во френелевской $0,1 < P < 1$ зоне и на начальном участке x волновой зоны $\sqrt{\lambda x/2} > \rho_0$

Как следовало ожидать в геометрооптической зоне ($P < 0,1$) с точностью численного расчета нормированная амплитуда постоянна. По мере удаления от апертуры антенны x возрастает и на апертуре начинают укладываться меньшее число зон Френеля с отличающимися по радиусу на $m\pi/2$ (по диаметру $m\pi$) фазами, так что в точках наблюдения при сложении полей от разных зон Френеля возникают нарастающие по амплитуде осцилляции. Только при значениях с $P \geq 1$ ($\sqrt{\lambda x/2} > \rho_0$) в волновой зоне из-за расходимости пучка (дифракция Фраунгофера) начинается уменьшение амплитуды.

Данные численного интегрирования на рис.6.4 подтвердили, что как и ожидалось, во френелевской зоне наблюдения на оси пучка нормированная амплитуда пучка осциллирует около единицы.

Кривая на рис.6.4 также иллюстрирует границу перехода от осциллирующей зоны Френеля $P = \frac{\sqrt{\lambda x/2}}{\rho_0} \approx 1$ к волновой, где зависимость амплитуды на оси пучка обратно пропорциональна x как направленной сферической волны.

7. Комплексная амплитуда поля узкого гауссового пучка в свободном пространстве распространения

У малогабаритной параболической антенны с согласующим КВЧ стаканом, открытым концом круглого волновода и дисковым отражателем как облучателя основного зеркала [], конического рупора и рупорно-линзовой антенны поле $E(0, \rho)$ по раскрытию аппроксимировалось синфазным $\varphi_E(0, \rho_*) = 0$ гауссовским распределением на пьедестале

$$E(0, \rho) = E_0 \exp\left(-\frac{\rho^2}{\rho_e^2}\right) = \begin{cases} E_0 \exp(-\rho_*^2), & 0 \leq \rho_* \leq 1, \varphi_E(0, \rho_*) = 0, \\ 0, & \rho_* = \rho / \rho_e > 1. \end{cases} \quad (7.1)$$

При неравноамплитудном распределении по апертуре вводится эффективная площадь Σ_9 раскрытия, определяемая по соотношению

$$\Sigma_9 = \frac{\left| \int_{\Sigma} E_{\Sigma} d\Sigma \right|^2}{\int_{\Sigma} |E_{\Sigma}|^2 d\Sigma} \quad (7.2)$$

и коэффициент использования площади антенны (КИП) $\nu = \Sigma_9 / \Sigma$. Концентрацию мощности излучения направленной антенны характеризуют коэффициентом усиления (направленного действия) антенны

$$G_0 = \eta \frac{4\pi \Sigma_9}{\lambda^2} = \eta \nu \frac{4\pi \Sigma}{\lambda^2}, \quad (7.3)$$

где η – КПД антенны, $\nu = \Sigma_9 / \Sigma$.

Для гауссового пучка (7.1) формируемого круглой апертурой параболической антенны из соотношения (7.2) получается $\Sigma_9 = 0,463 \Sigma$ и $\nu = \frac{\pi \rho_9^2}{\pi \rho_0^2} = \frac{\rho_9^2}{\rho_0^2}$, следовательно, $\rho_9 = \sqrt{\nu} \rho_0 \approx 0,68 \rho_0$.

Для $\nu = 0,463$ и $\eta = 0,92$ ($10 \cdot \lg \eta \nu \approx -4$ дБ) по соотношению (7.3) следует ожидать уменьшения усиления G_{0i} для гауссового распределения примерно на 4 дБ в сравнении с равноамплитудным и снижением уровня боковых лепестков.

Вычисление углового спектра $\hat{E}(u)$ гауссового пучка на пьедестале в волновой зоне $P \gg \sqrt{\lambda x / 2} / \rho_e \gg 1$ было выполнено по соотношению (6.13) интегрированием на интервале $u \in [0, \infty]$, сводя преобразование (6.13) к табличному интегралу и реализуя тем самым возможность получения аналитического выражения применимого в волновой зоне.

С использованием безразмерных переменных $u \rho = u \rho_e \rho_* = s \rho_*$

($s=u\rho_e$) и табличного интеграла []

$$\int_0^{\infty} \exp(-q\mathcal{G}^2) J_0(\mathcal{G}s) \mathcal{G} d\mathcal{G} = \frac{\exp(-s^2/4q)}{2q} \quad (*)$$

с учётом $q = 1$, после перехода к безразмерной переменной ρ_* соотношения (6.9) для углового спектра гауссовского пучка получилось выражение

$$\widehat{E}(u) = E_0 2\pi\rho_e^2 \int_0^{\infty} \exp(-\rho_*^2) J_0(u\rho_e\rho_*) \rho_* d\rho_* = E_0\pi\rho_e^2 \exp\left(-\frac{u^2\rho_e^2}{4}\right). \quad (7.4)$$

После подстановки $\widehat{E}(u)$ (7.4) в (6.13) было получено выражение

$$E(x, \rho) = \frac{E_0\pi\rho_e^2 e^{ikx}}{2\pi} \int_0^{\infty} \exp\left(-\left[u^2\left(\frac{\rho_e^2}{4} + \frac{ix}{2k}\right)\right]\right) u J_0(u\rho) du. \quad (7.5)$$

С обозначением $q = \frac{1}{4}\left(1 + \frac{ix\lambda}{\pi\rho_e^2}\right) = \frac{1}{4}(1 + iD)$, где $D = \frac{\lambda x}{\pi\rho_e^2} = \frac{2P^2}{\pi}$ –

интеграл в (7.5) является вышеупомянутым табличным интегралом (*). Как следует из (7.5) после подстановки вместо $\mathcal{G} = u_*$, $s = \rho_*$, $q = (1+iD)/4$ комплексная амплитуда поля гауссовского пучка в волновой зоне записывается в виде:

$$E(x, \rho) = \frac{E_0 \exp\left[-\left(\frac{\rho^2}{\rho_e^2(1+iD)} - ikx\right)\right]}{1+iD}. \quad (7.6)$$

Как и ожидалось, соотношение (7.6) совпадает с выражением интеграла Кирхгофа как свёртки коллимированного гауссовского пучка и параболической функции Грина с интегрированием по ρ на интервале $\rho \in [0, \infty]$ в координатном представлении, как гауссовского пучка без пьедестала.

С введением единичной амплитуды $A(x, \rho)$ как нормированного модуля комплексной амплитуды $|E(x, \rho)|/E_0$ и аргумента (фазы) $\varphi_E(x, \rho)$ в виде (6.22) выражение модуля согласно свойству комплексной функции определяется по соотношению:

$$A(x, \rho) = \frac{\sqrt{E(x, \rho)E^*(x, \rho)}}{E_0} = \frac{\sqrt{|E(x, \rho)|^2}}{E_0} = \frac{|E(x, \rho)|}{E_0}. \quad (7.7)$$

После соответствующих преобразований для амплитуды и фазы в сечении $x\rho$ гауссовского пучка были получены выражения

$$A(x, \rho) = \frac{1}{\sqrt{1+D^2}} \exp\left[-\frac{\rho^2}{\rho_e^2(1+D^2)}\right], \quad (7.8)$$

$$\varphi_E(x, \rho) = kx + \frac{\rho^2}{\rho_e^2} \frac{D}{(1+D^2)} - \operatorname{arctg} D. \quad (7.9)$$

При $x \rightarrow \infty$, $D = \frac{\lambda x}{\pi \rho_e^2} \rightarrow \infty$ вторым членом в (7.9) можно пренебречь и $\operatorname{arctg} D \approx \pi/2$. Таким образом, в волновой зоне выражение (7.9) преобразуется к виду

$$\varphi_E(x, \rho) = kx - \frac{\pi}{2}. \quad (7.9a)$$

Зависимость амплитуды $A(x,0)$ на оси гауссовского пучка в переходной (френелевской) к волновой (фраунгоферовой) зоне была получена численным интегрированием соотношения (6.13) представленного в виде

$$A(x,0) = \frac{1}{2\pi} \left| \int_0^1 \exp(-\rho_*^2) J_0(u_* \rho_*) \rho_* d\rho_* \int_0^{3.8} \exp(-u_*^2 q) u_* du_* \right|. \quad (6.13a)$$

Сначала вычислялись значения углового спектра интегрированием по ρ_* на ограниченном пьедесталом интервале $\rho_e = \rho_a$, $\rho_* \in [0, 1]$

$$\widehat{E}(u_*) = 2\pi E_0 \rho_e^2 \int_0^1 \exp(-\rho_*^2) J_0(u_* \rho_*) \rho_* d\rho_*,$$

а затем на ограниченном частотном интервале $u_* \in [0, 3,8]$ в пределах главного лепестка углового спектра.

На рис.7.1 приведены результаты численного интегрирования $A(x,0)$ для $\lambda = 10,5 \cdot 10^{-3}$ м, $\rho_e = 0,11$ м.

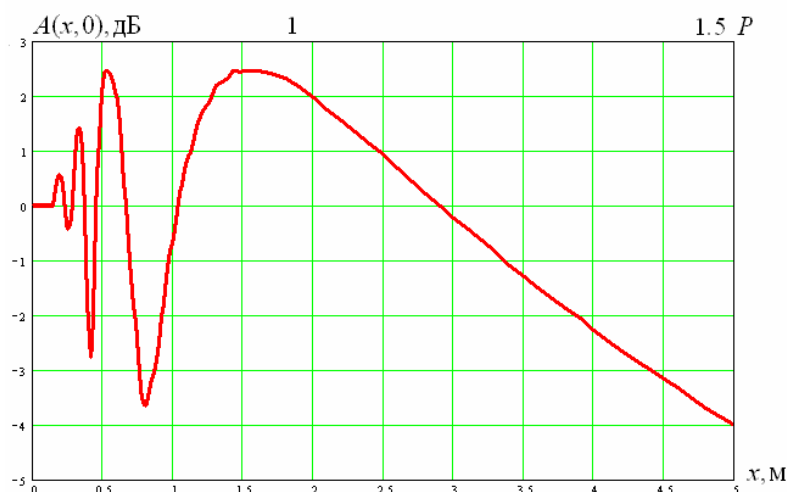


Рис.7.1. Зависимость от x амплитуды на оси гауссовского пучка $A(x,0)$ во френелевской $0,1 < P < 1$ зоне и на начальном участке x волновой зоны $\sqrt{\lambda x/2} > \rho_0$.

Как и следовало ожидать, максимум осцилляций уменьшился на 4 дБ по сравнению с кривой на рис.6.4 для равноамплитудного распределения по апертуре.

Из знаменателя показателя гауссовской функции (7.8) следует, что линейное расширение радиуса сечения пучка $\rho_e(x)$ на уровне уменьшения амплитуды в $e=2,7$ раза описывается соотношением

$$\rho_e^2(x) = \rho_e^2(1 + D^2) = z_e^2(x). \quad (7.10)$$

После подстановки D в (7.10) получается выражение, описывающее две ветви гиперболы в плоскости xOz

$$\frac{z^2}{\rho_e^2} - \frac{x^2 \lambda^2}{(\pi \rho_e^2)^2} = \mp 1, \quad (7.11)$$

которое преобразуется к каноническому виду

$$\frac{z^2}{b^2} - \frac{x^2}{a^2} = \mp 1, \quad (7.12)$$

с параметрами $a = \pi \rho_e^2 / \lambda$ и $b = \rho_e$. Из соотношения (7.11) следует, что при $z=0$, $x=a$. Это означает, что « a » характеризует сдвиг вправо (рис.7.2) ветви гиперболы относительно начала расположения антенны ($x=0$).

В волновой зоне $x \gg 2\rho_e^2/\lambda \gg 1$ образующую $\rho_e(x)$ на уровне френелевского гиперблоида излучения в плоскости xOz $\rho_e(x) = z_e(x)$ можно заменить асимптотами $z_e(x) = \pm bx/a$.

Полагая $2\mathcal{G}_e = 2\arctg(b/a) \approx 2\lambda/\pi\rho_e$ выражение для асимптот $z_e(x)$ приобретает вид

$$z_e(x) = \rho_e(x) = \pm \mathcal{G}_e x, \quad (7.13)$$

где $2\mathcal{G}_e = 2\lambda/\pi\rho_e$ – угол расходимости круглого прямого конуса.

На рис.7.2 представлена правая ветвь гиперболы с асимптотами (7.13) для $\lambda = 10,5 \cdot 10^{-3}$ м, $\rho_e = \rho_0 = 1,1 \cdot 10^{-1}$ м, $a = 3,65$ м, $\mathcal{G}_e = 1,7^\circ$.

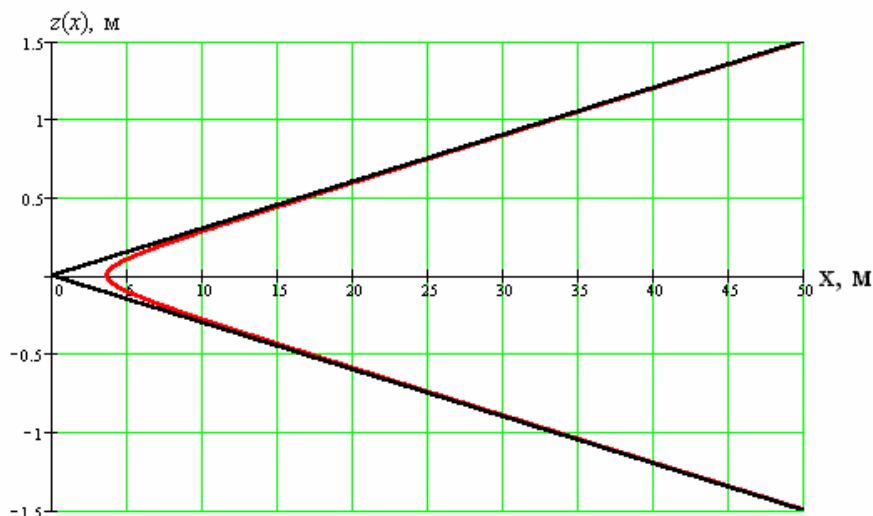


Рис.7.2. Правая ветвь гиперболы с асимптотами $z_e(x)$ для $\lambda = 10,5 \cdot 10^{-3}$ м, $\rho_e = \rho_0 = 1,1 \cdot 10^{-1}$ м

Из данных вычислений представленных на рис.7.2 асимптот правой ветви гиперболы следует, что при распространении коллимированного гауссовского пучка в волновой зоне гиперболоид может быть аппроксимирован асимптотическим прямым круглым конусом с образующими (7.13), осью симметрии, совпадающей с направлением распространения пучка. Из соотношения (7.9) также следует, что фазовый фронт пучка изменяется от плоского на апертуре ($x=0, R=\infty$) до параболического в волновой зоне.

Нормированный на максимум модуль углового спектра в волновой зоне – это модуль диаграммы направленности в зависимости от угла ϑ . Выражение модуля углового спектра следует из соотношения (7.4) с преобразованием аргумента гауссовской функции

$$\frac{u^2 \rho_e^2}{4} = \frac{k^2 \sin^2 \vartheta}{4} \rho_e^2 \approx \frac{\pi^2 \rho_e^2 \vartheta^2}{\lambda^2} = \frac{\vartheta^2}{\vartheta_e^2}.$$

Таким образом, модуль нормированного углового спектра гауссовского пучка в волновой зоне описывается выражением

$$F_t(\vartheta) = \exp\left(-\frac{\vartheta^2}{\vartheta_e^2}\right). \quad (7.15)$$

Этого и следовало ожидать, т.к. преобразование Фурье-Бесселя (5.9) от гауссовской функции должно быть гауссовской функцией.

На рис.7.3 приведены формы основных лепестков нормированных модулей угловых спектров (диаграмм направленности) пространственно ограниченного пьедесталом гауссовского пучка (7.5) и равноамплитудного синфазного пучка при $\lambda=10,5 \cdot 10^{-3}$ м, $\rho_e=\rho_0=0,11$ м, $\vartheta_e=1,74^\circ$.

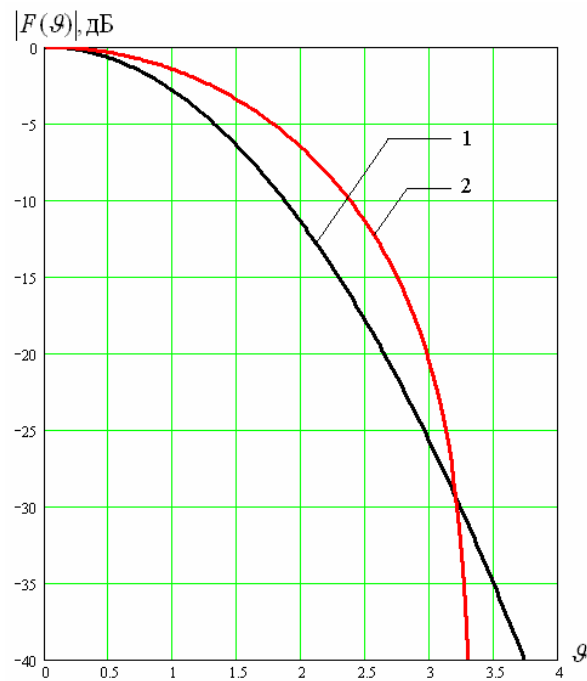


Рис.7.3. Нормированные угловые спектры: 1 – пространственно ограниченного пьедесталом гауссовского пучка (7.5), 2 – равноамплитудного синфазного пучка (6.11)

Из сравнения угловых спектров распределения комплексных амплитуд гауссовского пучка и равноамплитудного следует, что угловой спектр гауссовского пучка незначительно уширяется на 0,18 градуса в сравнении с равноамплитудным распределением комплексной амплитуды.